

وزارت معادن و فلزات
سازمان زمین‌شناسی کشور
گروه GIS

طرح پی‌گیری مطالعات ژئوفیزیکی هوایی
گزارش مطالعات ژئوفیزیکی به روش مغناطیس‌سنجی
در منطقه سبزوار – باشتین

توسط:

انوشا هاشمی مژگان علوی

بهار ۱۳۷۷

فهرست مطالب

مقدمه

الف- منطقه سبزوار

- ۱- چکیده‌ای از زمین‌شناسی منطقه سبزوار
- ۲- موقعیت جغرافیایی منطقه سبزوار
- ۳- کلیاتی در مورد کاوش‌های مغناطیسی
- ۴- بررسی نتایج مطالعات انجام شده در منطقه سبزوار
 - ۱-۴- بررسی نقشه شدت کل میدان مغناطیسی
 - ۲-۴- بررسی انطباق نقشه شدت کل میدان مغناطیسی و زمین‌شناسی
 - ۳-۴- بررسی نتایج مدل‌گذاری
 - ۴-۴- بررسی نتایج استفاده از روش گسترش به طرف بالا
- ۵-۴- بررسی نقشه مشتق دوم

ب- منطقه باشتین

- ۱- موقعیت جغرافیایی منطقه باشتین
- ۲- بررسی نقشه شدت کل میدان مغناطیسی
- ۳- بررسی انطباق نقشه شدت کل میدان مغناطیسی و زمین‌شناسی
- ۴- بررسی نتایج مدل‌گذاری
- ۵- بررسی نتایج روش گسترش به بالا
- ۶- بررسی نقشه مشتق دوم

به نام خدا

مقدمه

بر اساس طرح پیگیری ژئوفیزیک هوایی و به منظور پیجوری زمینی نا亨جاریهای

مغناطیسی، در بهار ۱۳۷۷ بر اساس پروژه محول شده به گروه GIS مبنی بر انجام کار

زمین‌شناسی، ژئوفیزیک، ژئوشیمی در منطقه سبزوار، بخش ژئوفیزیک گروه GIS کار مغناطیس

هوایی مناطق سبزوار، باشتن را بر عهده گرفت و در این زمینه مطالعات مغناطیسی انجام گرفته

است.

در انجام این مطالعات از اطلاعات و داده‌های خامی که در سال ۱۳۵۳ تا ۱۳۵۷ توسط

سازمان برداشت‌های هوایی تکزاں تهیه گشته با فاصله خطوط پرداز ۷/۵ کیلومتر و ۴۰ Tieeline

کیلومتر استفاده نموده‌ایم.

به علت در اختیار نبودن نقشه ۱:۱۰۰,۰۰۰ مناطق یاد شده از نقشه زمین‌شناسی ۱:۲۵۰,۰۰۰

این مناطق که توسط گروه GIS رقومی شده، استفاده گشته است.

همچنین نقشه ژئوفیزیک هوایی ۱:۲۵۰,۰۰۰ و نقشه توپوگرافی ۱:۲۵۰,۰۰۰ این مناطق برای

انجام مطالعات به کار برده شده‌اند.

در اینجا از خدمات گرانقدر آقای مهندس کره‌ای که با راهنمایی‌های ارزشمندشان ما را در انجام

این پروژه یاری داده‌اند کمال تشکر را داریم.

۱- چکیده‌ای از زمین‌شناسی مناطق (سبزوار - باشتین)

شمال منطقه سبزوار ناحیه کوهستانی دارای کوههای متعدد با روند کلی شمال غربی-جنوب شرقی می‌باشد. دره‌های آبرفتی این سلسله کوهها را از یکدیگر جدا می‌سازند. قسمت وسیعی از منطقه حاوی کالرملانژ، سنگ آذرین اولترابازیک، سنگ نفوذی با ترکیب حد واسط است، همچنین شامل آتشفشارهای نتوژن و ائوسن و سنگ‌های نفوذی، بیرون‌زدگی‌های ژوراسیک پالتوژن، ائوسن، اولیگوسن، میوسن، نتوژن، پلیوسن و سنگ‌های رسوی پلیو - پلیوستوسن، است.

ارتباط واحدهای مختلف در منطقه عمدهاً گسله می‌باشد در این جا به شرح واحدهای مختلف در منطقه می‌پردازیم.

افیولیت: یک رخساره کامل افیولیت ترکیبی از پریدوتیت‌های دگرگون شده (هارزبورزیت، دونیت سرپنتین و ...)، گابرو (دیوریت و ...) دایکهای صفحه‌ای، پیلو لاوا (گدازه‌های آتشفشاری بالشی شکل) و رسوبات آهک پلاژیک و ... است. که الزاماً همه آنها در یک

مجموعه قرار نمی‌گیرند. طریقه جایگزینی افیولیتها به گونه‌ای است که عمدتاً بر اثر عملکرد گسلهای تراستی روی پوسته قاره‌ای و بر روی یکدیگر رانده شده‌اند لذا در مناطق افیولیتی زونهای گسلی و تراستی فراوانی معمولاً می‌توان مشاهده نمود. در داخل بخش پریدوتیتی افیولیت‌ها از نظر اهمیت اقتصادی می‌توان به وجود عدسی‌های کرومیتی اشاره نمود در بخش پیلولاوا نیز مس همراه با طلا وجود دارد. از دیگر موادمعدنی موجود در افیولیت‌ها می‌توان به وجود مواد فلزی نظیر نیکل، پلاتین و یا مواد غیرفلزی آسبیست، منیزیت و رفیلولیت وغیره اشاره نمود.

مجموعه افیولیتی موجود در این منطقه که به صورت آمیزه رنگین می‌باشد شامل هارزبورزیت (به همراه کانی برونزیت) دونیت سرپنتینی شده به طوری که سرپانتینها در کل منطقه پخش شده‌اند و انواع کروم به ویژه کروم پوست پلنگی قابل تشخیص می‌باشد. هارزبورزیت‌ها به رنگ سبز تیره براق دیده می‌شوند.

از دیگر سنگهای همراه کننده این مجموعه گابرو لایه‌ای و گابرو پگماتوئیدی را می‌توان نام

برد، گابرپیگماتوئیدی در منطقه به مقدار زیادی پراکنده می‌باشد. آهکهای پلازیک گلی رنگ به

همراه لیستونیت به رنگ زرد پرتفالی به مقدار زیاد در این مجموعه افیولیتی وجود دارند.

همانطور که می‌دانید لیستونیت مرکب از ترکیبات کربناته، به همراه سیلیس ثانوی، سرپانتین،

کلریت می‌باشد در بوجود آمدن این سنگ پدیده متاسوماتیسم عامل اصلی به حساب می‌آید.

لیستونیتها، کانی‌سازی طلا، طلا - ارسنیک، طلا - تلوریوم، جیوه، آنتیموان و نیکل - کبالت را

معمولأً همراهی می‌کنند.

سنگهای اولترابازیک عمدت‌ترین تشکیل دهنده‌های مجموعه افیولیتی به همراه دایکهای

تغذیه کننده نیز در منطقه مشاهده می‌شود. در این منطقه پیلوولاواتیپیک مشاهده نشده است.

بازالت‌های فراوانی در منطقه قابل رویت است (نوع تودهای)، سنگهای داسیت و ریوداسیت

برنگ روشن با بلورهای پلازیوکلاز بسیار جالب درشت و گاهی به همراه بیوتیت دیده می‌شود که

وجود بیوتیت در آنها عدم کانی‌سازی را برای ما روشن می‌سازد.

در پائین رودخانه کالشور ولکانیکهای متعددی وجود دارند که به نظر می‌رسد در بردارنده

سنگهای آندزیتی باشند. در بالای رودخانه کال شور سری کنگلومرا حاوی قطعات افیولیتی با گسترش بسیار دیده می‌شود. شواهد کانی‌سازی مس در منطقه قابل مشاهده می‌باشد. کنگلومراها با رنگ قرمز تیره و مورفولوژی تپه ماهوری در شمال و جنوب افیولیتها منطقه رخنمون بافت است.

پادگانه آبرفتی: این واحد شامل نهشت‌هایی است که معمولاً در دامنه کوهها بصورت پادگانه‌های آبرفتی بلند و مخروط افکنه دیده می‌شوند. از نظر دگرگونی قسمتهای مختلف این منطقه تحت تأثیر دگرگونی ناحیه شدید قرار گرفته است.

از نظر تکتونیکی ساختار کمانهای قوسی (arc) کاملاً در مورد این منطقه صادق است و محیط، یک محیط کاملاً زیردریایی بوده است، می‌توان در منطقه انتظار یافتن پتانسیل کروم و مس (تیپ قبرسی) و همچنین منیزیت را در زون گسله داشت.

در نهایت سنگهای اولترامافیکی آلتره نشده (هارزبورزیت، دونیت) به دلیل بافت تراکم و

توده‌ای و مقاومت زیاد برای مصالح ساختمانی و در صورت قواره‌دهی مناسب جهت سنگهای تزئینی و در صورت غیر آن جهت سنگهای لاشه در محل سد هاوریل‌ها پتانسیل دارند. (به علت وجود گسلهای فراوان در مناطق افیولیتی دسترسی به قواره‌های مناسب جهت سنگهای تزئینی مشکل به نظر می‌رسد).

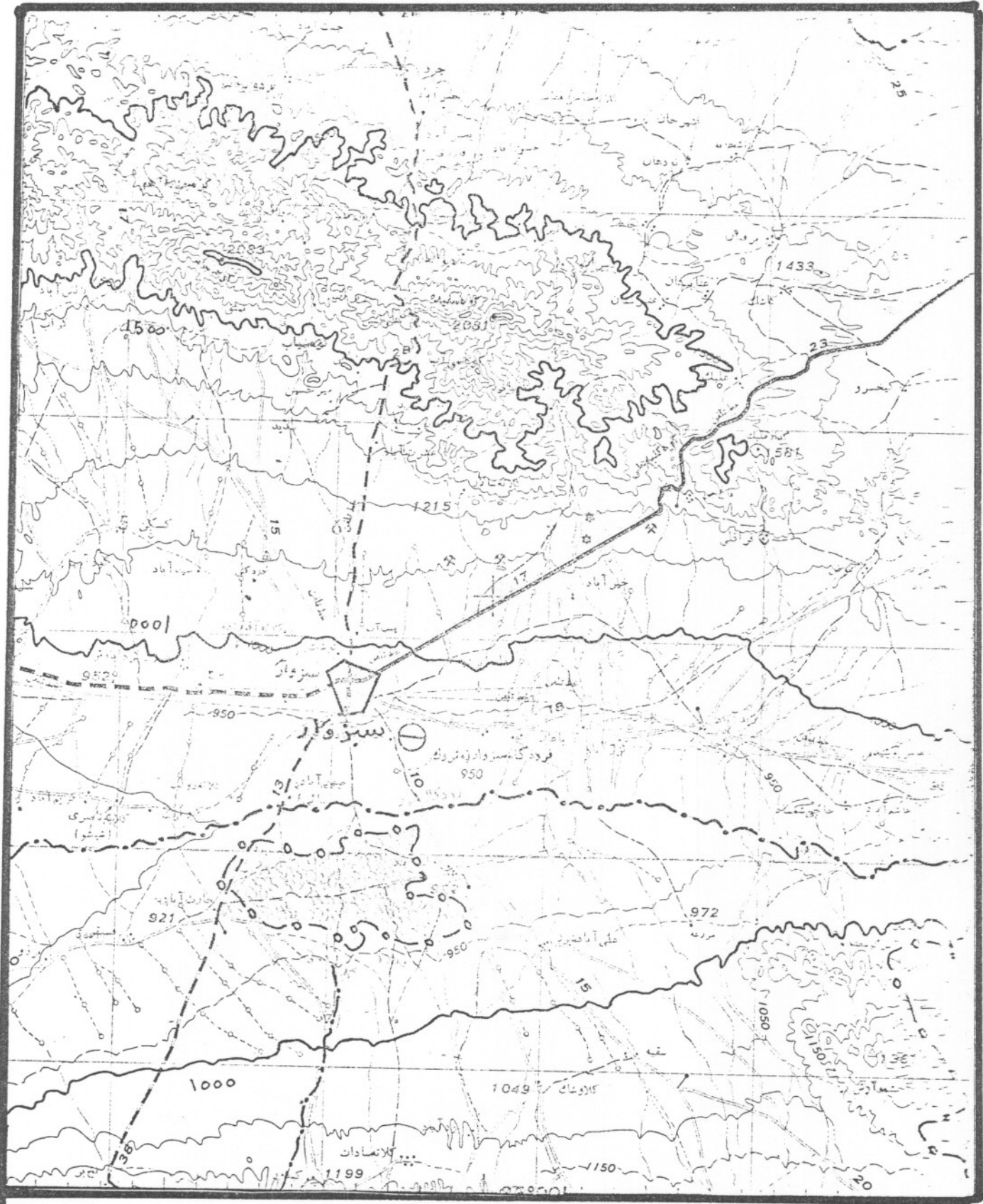
۲- موقعیت جغرافیایی منطقه سبزوار

این منطقه در استان خراسان و در فاصله ۲۴۰ کیلومتری از شهر مشهد عرض جغرافیایی ۳۶ تا

۳۶/۵ شمالی و طول جغرافیایی ۵۷/۵ تا ۵۸ شرقی واقع گردیده است. در نقشه توپوگرافی منطقه

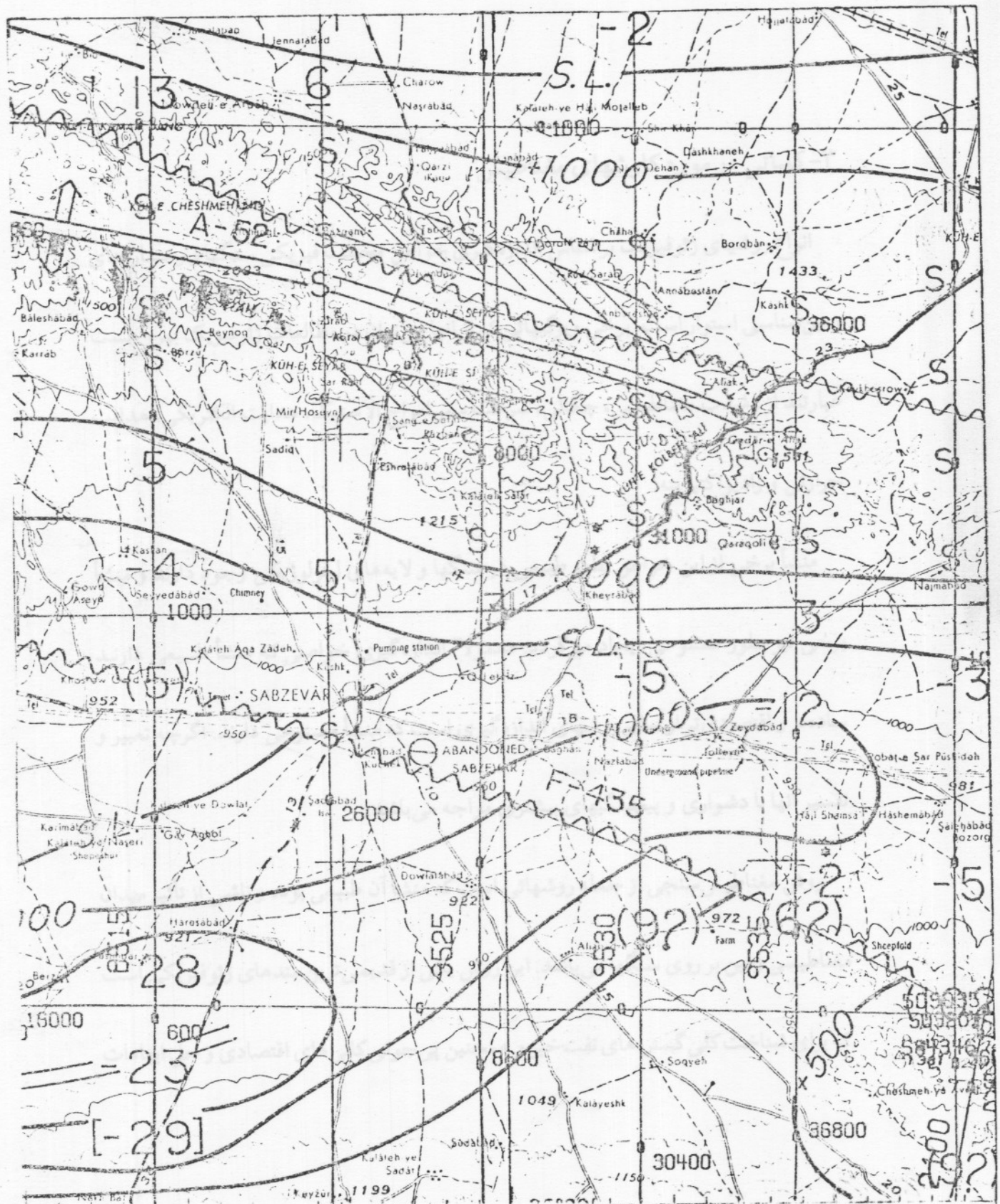
مورد مطالعه (مقیاس ۱:۲۵۰,۰۰۰) و در نقشه مغناطیس هوایی (مقیاس ۱:۲۵۰,۰۰۰) موقعیت

جغرافیایی گستره سبزوار مشخص گردیده است (اشکال ۱-۲).



دشک ۱

نقشه توپوگرافی (1:۲۵۰۰۰)



نقشه: ۱:۲۰۰۰: روستایی های سبزوار

شل (۲)

۸۳

مریبوط به پدیده های زمین شناسی ساختمانی و ارتباط کلی سنگها مورد استفاده قرار می گیرد.

امکان برداشت مغناطیس سنجی توسط هلی کوپترو هواپیما در متدهای فیزیک هوائی علاوه بر افزایش سرعت عمل، امکان مطالعات در محدوده بسیار وسیع و صعب العبور را نیز میسر می سازد.

منشأ بی هنجاریهای مغناطیسی به دو دلیل عمده می باشند، یکی وجود کانی هائی نظیر مگنتیت، ایلمنیت، پیروتیت و سایر کانی هائی که دارای خواص مغناطیسی هستند و دیگری توبوگرافی و ساختمان سنگ کف.

سنگهای رسوبی چنانچه هنگام فرآیند دیاژنز حاوی کانیهای مذکور باشند، آنومالی مثبت از خود نشان می دهند. معمولاً "این آنومالیها در سنگهای رسوبی شدید نبوده و در حدود (۱٪ گاما) می باشد. حال آنکه آنومالی مثبت در سنگهای آذرین معمولاً ۱۰ تا ۱۰۰ برابر سنگهای رسوبی است.

بنابراین آنچه که بعنوان تغییرات شدید میدان مغناطیسی در سطح زمین اندازه گیری می شود

مریبوط به تغییرات لیتولوژیک پی سنگ (Basement) و یا نفوذیهای آذرینی می باشند.

امروزه از این روش خصوصاً "پیمایش هوائی در مقیاس وسیع جهت تعیین محل گسلهای

بزرگ و زونهای خرد شده و شکسته شده که معمولاً می توانند در رابطه با فرایندهای تکتونیکی،

کانی سازی (مینرالیزاسیون) بوده باشند مورد استفاده قرار می گیرند. واحد اندازه گیری در این

روش گاما (Gamma) می باشد.

اثرات طوفانهای خورشیدی و بطورکلی تغییرات میدان مغناطیسی زمین در طول روز از جمله

عوامل فرعی در ایجاد ناهنجاریهای مغناطیسی هستند که هنگام برداشتهای مغناطیس سنگی

باید به آنها توجه نمود و اثرات آنها را حذف کرد.

امروزه پیمایش مغناطیس هوایی در مقیاس وسیع جهت تعیین محل گسلهای بزرگ و زونها

خود و شکسته شده که معمولاً می توانند در رابطه با زون کانی زایی (مینرالیزاسیون) بوده باشند

مورد استفاده قرار می گیرند همینطور بسیاری از ذخایر معدنی با نفوذیهای اسیدی یا بازیک همراه

هستند تعیین این نفوذیها و تخمین مشکل آنها از طریق پیمایش مغناطیس هوایی کمکی مؤثر در

آغاز یک کار اکتشافی می‌باشد. از روش مغناطیسی جهت پی‌جوبی اورانیوم در سطح دگرشیبی‌ها نیز استفاده می‌گردد.

۴- بررسی نتایج مطالعات انجام شده در منطقه سبزوار

۴-۱- بررسی نقشه شدت کل میدان مغناطیسی

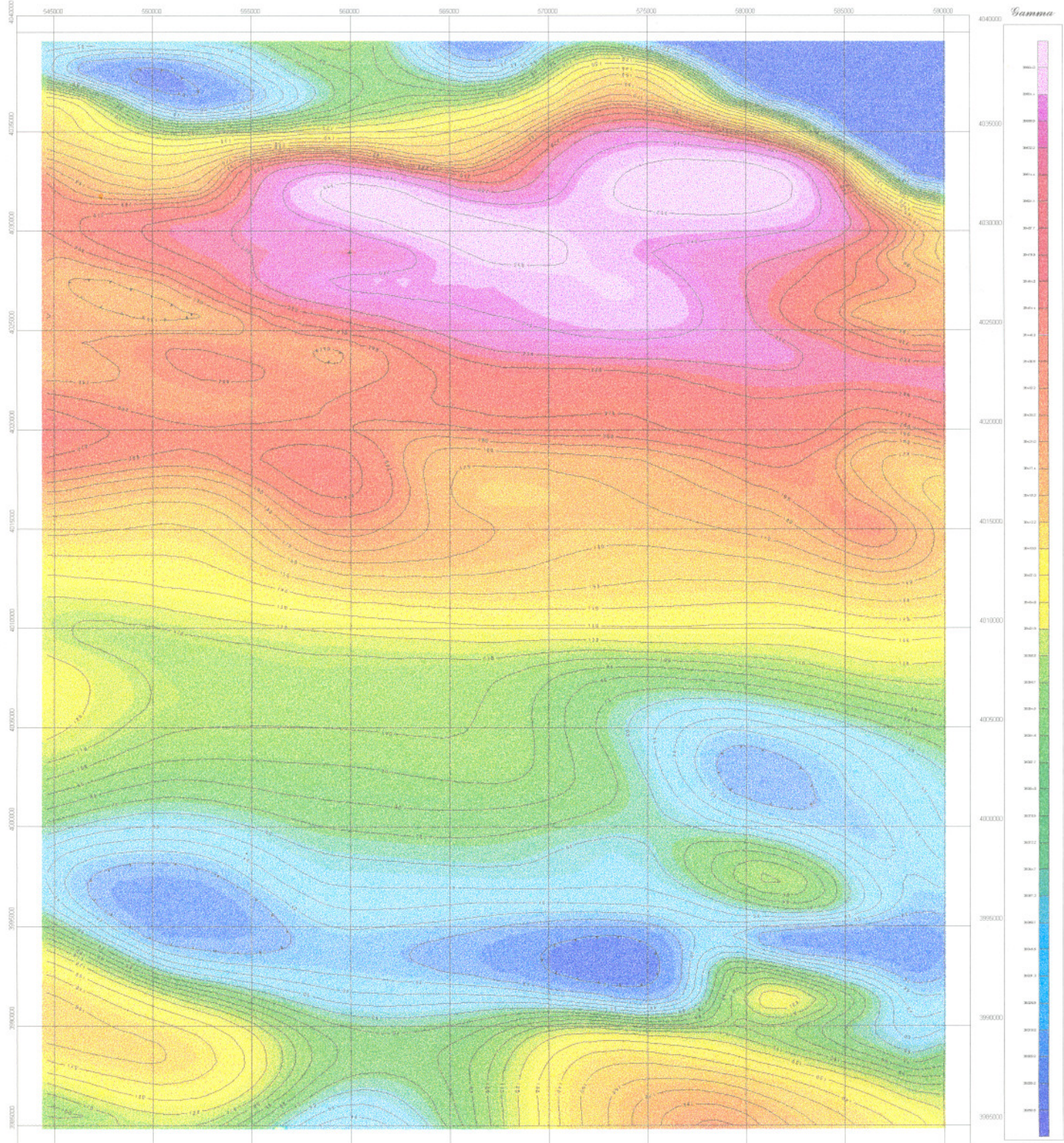
حداکثر شدت میدان مغناطیسی در منطقه ۳۹۵۵۲/۶۵ گاما و حداقل شدت میدان مغناطیسی ۳۹۳۰۸/۲ گاما می‌باشد، اختلاف شدت میدان مغناطیسی ۴۵/۴۴ گاما است.

با توجه به نقشه کل شدت میدان مغناطیسی بی‌هنچاری اصلی در قسمت شمال نقشه مشاهده می‌شود که ناشی از مجموعه افیولیتی موجود در منطقه می‌باشد. این بی‌هنچاری در نقشه Signal منطقه به صورت دو بی‌هنچاری جدا از هم نشان داده شده است (نقشه با استفاده از امکانات نرم افزاری تهیه می‌گردد و pick داده‌ها را به سطح بالای منبع آنومالی منتقل می‌کند و محل پس‌ماند توده مغناطیسی را تعیین می‌کند).

در قسمت جنوب شرق نیز بی‌هنچاری دیده می‌شود که در نگاه اول شدت آن به نظر کم می‌رسد ولی با انطباق با نقشه Signal متوجه می‌شویم که شدت آن نسبتاً بالا می‌باشد. و احتمالاً متعلق به اسکارن موجود می‌باشد ولی به طور کلی جنوب منطقه دارای شدت میدان مغناطیسی پائین می‌باشد که ناشی از تشکیلات رسوبی، کنگلومرا، آهک پلازیک و ... در منطقه می‌باشد.

AEROMAGNETIC MAP

SABZEVAR



Total Magnetic Intensity

Flight Interval : traverse 7.5 Kms

Tie Line : 40 Kms

Contour Interval : 10 Gamma

Projection : UTM 10,000 meters grid

WGS84

Zone 40

Model of Gamma



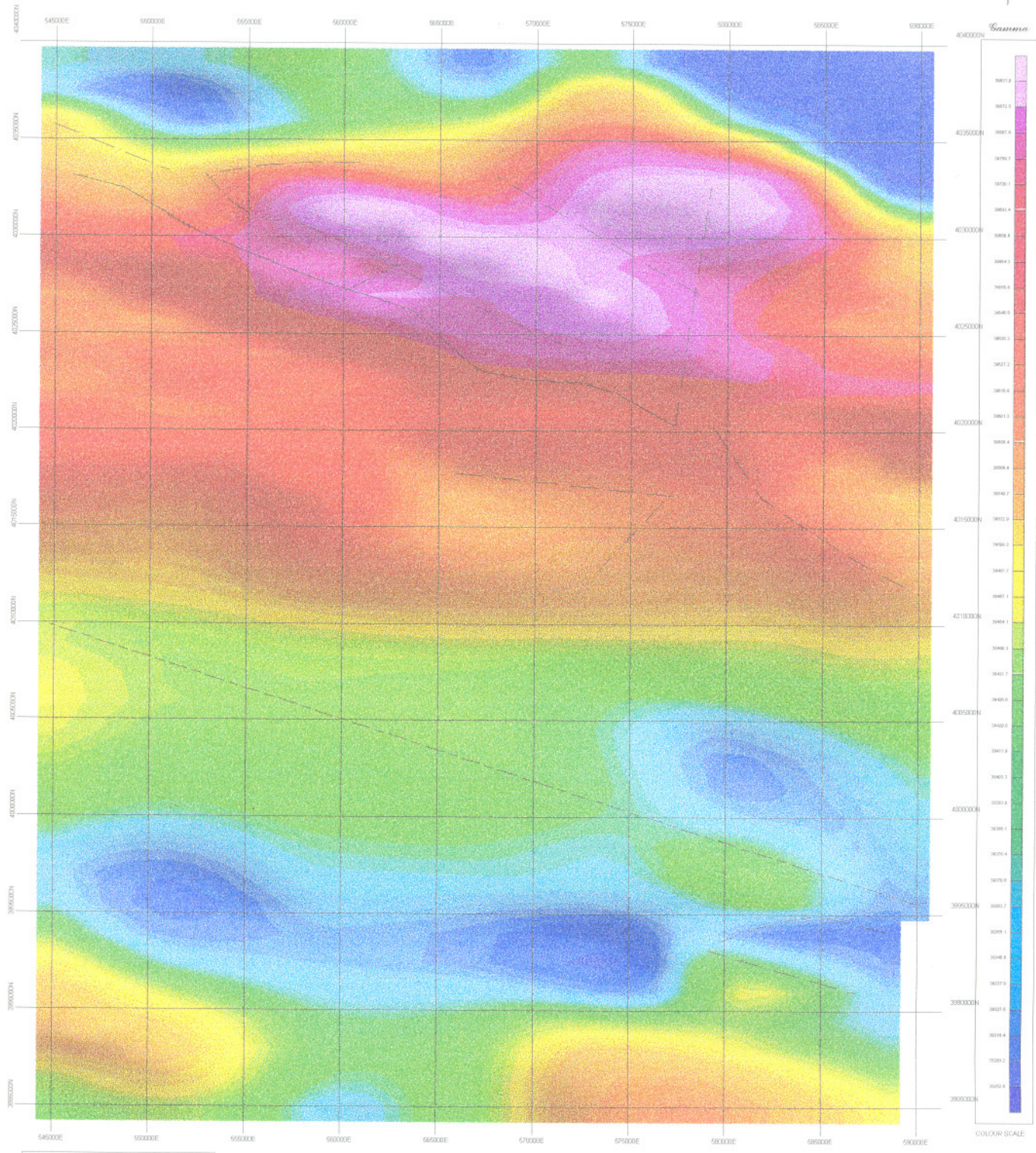
Fig No: 1

GEOLOGICAL SURVEY OF IRAN

G.I.S GROUP

M.Alavi

AEROMAGNETIC MAP SABZEVAR



Total Magnetic Intensity COLOUR SHADOW MAP

Flight Interval: 7.5 Kms
Tie Line: 40 Kms
Projection: U.T.M. 10,000 meters grid

WGS84
Zone 40
Inclination Angle: 45
Declination Angle: 45

Scale 1:200000
0 2000 4000 6000 8000 10000
(metres)

GEOLOGICAL SURVEY OF IRAN

G.I.S GROUP

M. Amini & A. Hashtemi

۴-۲- بررسی نقشه انطباق شدت کل مغناطیسی و زمین‌شناسی سبزوار

پس از رقومی کردن نقشه زمین‌شناسی سبزوار و تهیه آن به صورت Colour Image جهت

انطباق آن با نتایج مغناطیس سنگی، این نقشه را ابتدا به (Vector) تبدیل نموده و سپس با

استفاده از امکانات نرم‌افزاری با نقشه شدت میدان کل مغناطیسی انطباق داده شده است. بر

اساس نتایج حاصله از انطباق فوق مشخص می‌گردد که عمدۀ بی‌亨جاری مغناطیسی متعلق به

توف برشی و لاپیلی، گدازه آندزیتی، بازالتی و به طورکلی مجموعه افبولیتی می‌باشد در نقشه

مشاهده کردیم دو بی‌هنجاری در کنار یکدیگر هستند در حالی که در نقشه کل به صورت Signal

یک آنومالی دیده می‌شوند در این جا می‌توان علت را با گسل موجود توجیه نمود و نقشه Signal

صحت این موضوع را اثبات می‌کند. در قسمت پادگانه‌های آبرفتی قدیم و جدید بی‌هنجاری

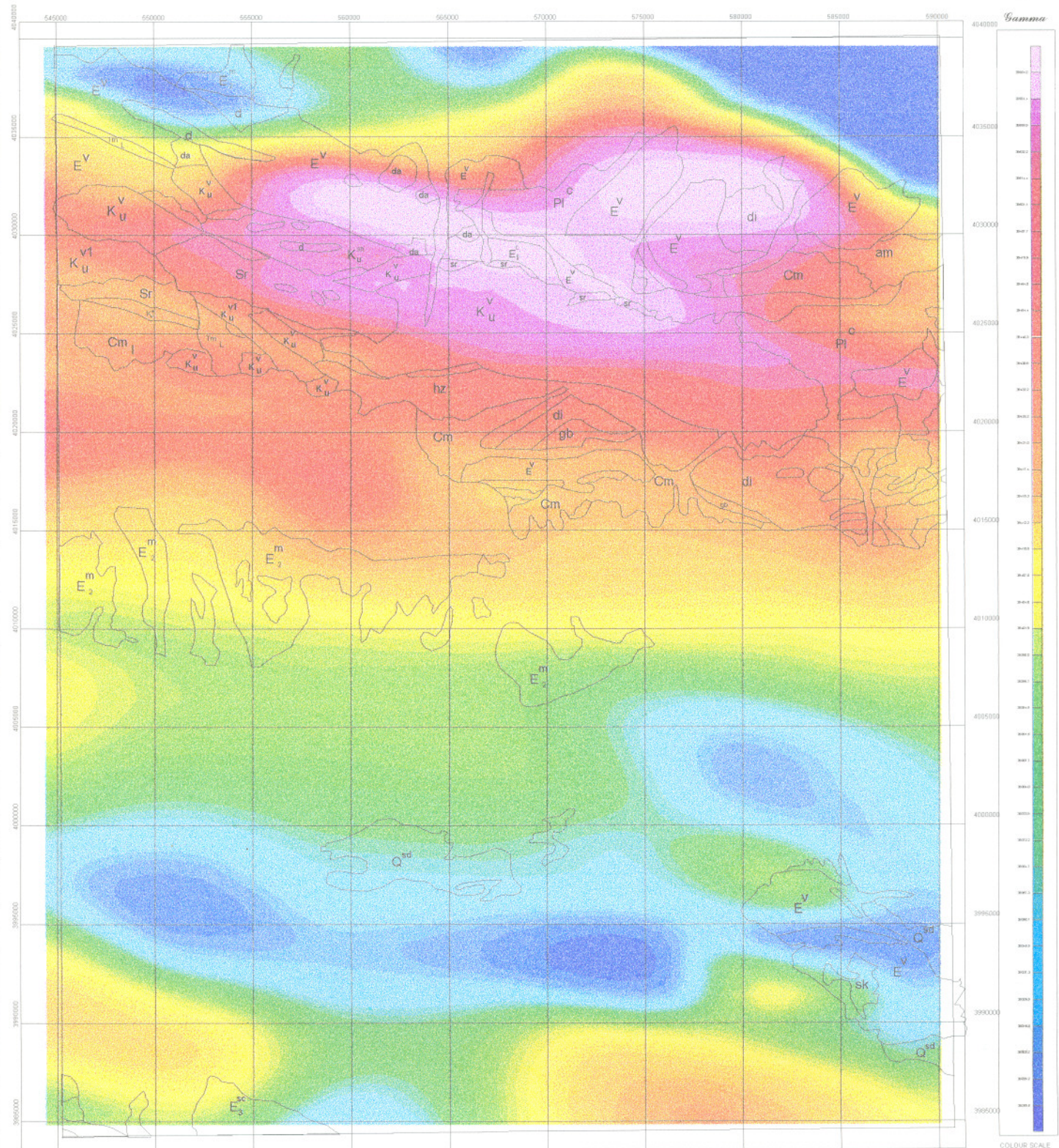
مغناطیسی خاصی مشاهده نمی‌گردد. بی‌هنجاری موجود در جنوب غرب و جنوب شرق منطقه

احتمالاً ناشی از وجود یک توده اسکارنی می‌باشد این نتیجه به کمک نقشه Signal گرفته شده

است.

AEROMAGNETIC MAP

SABZEVAR



Total Magnetic Intensity

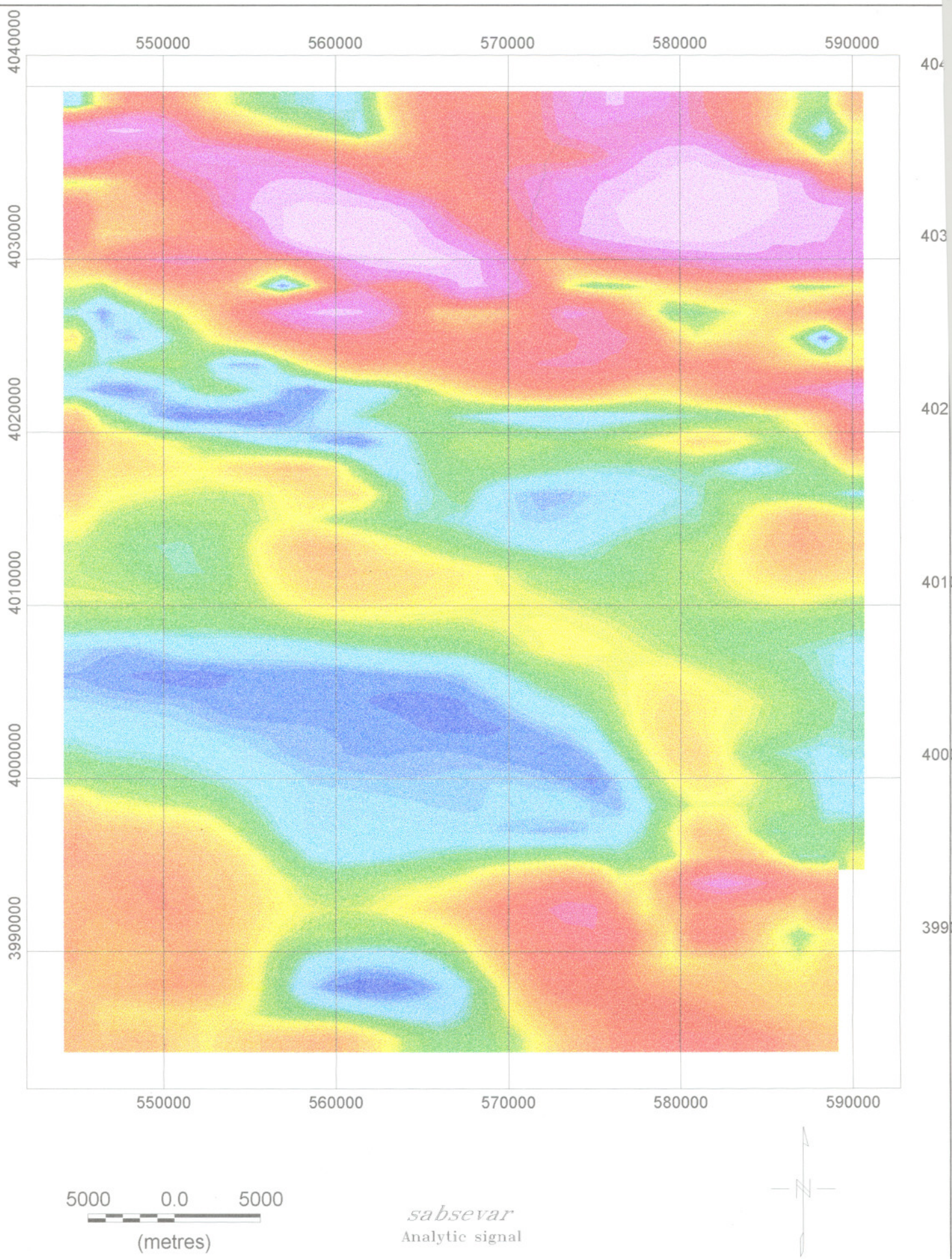
Flight Interval : traverse 7.5 Kms
 Tie Line : 40 Kms
 Contour Interval : 10 Gamma
 Projection : UTM 10,000 meters grid
 WGS84
 Zone 40

Scale in Kilometers
 0 50 100 150 200 250

GEOLOGICAL SURVEY OF IRAN

G.I.S GROUP

M Alavi



۴-۳- بررسی نتایج مدل‌گذاری

برای مطالعه و تفسیر کمی از مدل‌گذاری معکوس (Magnetic inversion modelling)

استفاده گردیده است که توده را به شکل مدل‌های ریاضی پله‌ای - نواری - صفحه‌ای و مسطح در نظر می‌گیرد.

در این روش از پارامترهایی چون شدت میدان مغناطیسی، زاویه میل و انحراف مغناطیس

منطقه، ارتفاع پرواز، راستای خطوط پرواز و ... استفاده می‌شود و با انتخاب امتداد پروفیل در امتداد عمود بر توده منبع آنومالی مناسب‌ترین مدل برای پروفیل انتخاب می‌گردد. که بیشترین تطبیق را با داده‌های مغناطیسی دارد.

با استفاده از این روش می‌توان طول و عرض مقطع مدل، عمق سطح بالایی، عمق سطح

پائینی (بسته به نوع مدل)، شیب و امتداد و ... که در راهنمای نقشه‌های مزبور آمده را تعیین نمود.

قابل ذکر است مدل‌های حاصل که شکل هندسی منظم دارند یک دیدگلی نسبت به ساختار

زمین‌شناسی توده می‌دهند.

منحنی برنگ قرمزنگار دهنده پروفیل مغناطیسی اندازه‌گیری شده و منحنی □ □ پاسخ مدل می‌باشد.

در نقشه شماره (۵) در سه ناحیه به مختصات : ۰۶۶۹۴۳/۲۹ ، ۳۹۹۳۹۲۰/۱۵ -

و ۰۶۸۴۴۲۳/۲۳ ، ۳۹۹۳۶۶۸/۲۵ - ۰۵۲۱۴۲/۹۲ ، ۳۹۹۶۳۶۹/۱۸ و ۰۷۴۳/۴۸ ، ۳۹۹۲۷۱۰

، ۰۷۴۳۴۳/۴۸ ، ۳۹۹۲۷۱۰/۶۴ - ۰۴۶۲۲۲/۷۷ ، ۳۹۹۷۳۴۴/۷۹

است.

در پروفیل (۱) توده زیرسطحی بصورت یک دایک در نظر گرفته شده که عمق آن ۱۸۴/۱ متر و با عرض ۱۶۴۳۰ متر و طول ۱۰۵۰۰ متر به ضخامت ۳۷۵۶ و سوسپیبیلته ۰/۰۳۱۲٪ می‌باشد.

در پروفیل (۲) توده زیرسطحی بصورت یک دایک با عمق ۲۰۷ و طول ۱۶۴۰۰ و عرض ۲۲۶۸۲ متر و به ضخامت ۱۶۲۹۴۹ و سوسپیبیلته ۰/۰۲۱۴٪ می‌باشد و شدت میدان ۳۹۹۱۸۴/۳۲۰ نانوتولا است.

در پروفیل (۳) توده بصورت یک دایک در منطقه با شدت مغناطیسی کم زده شده است که

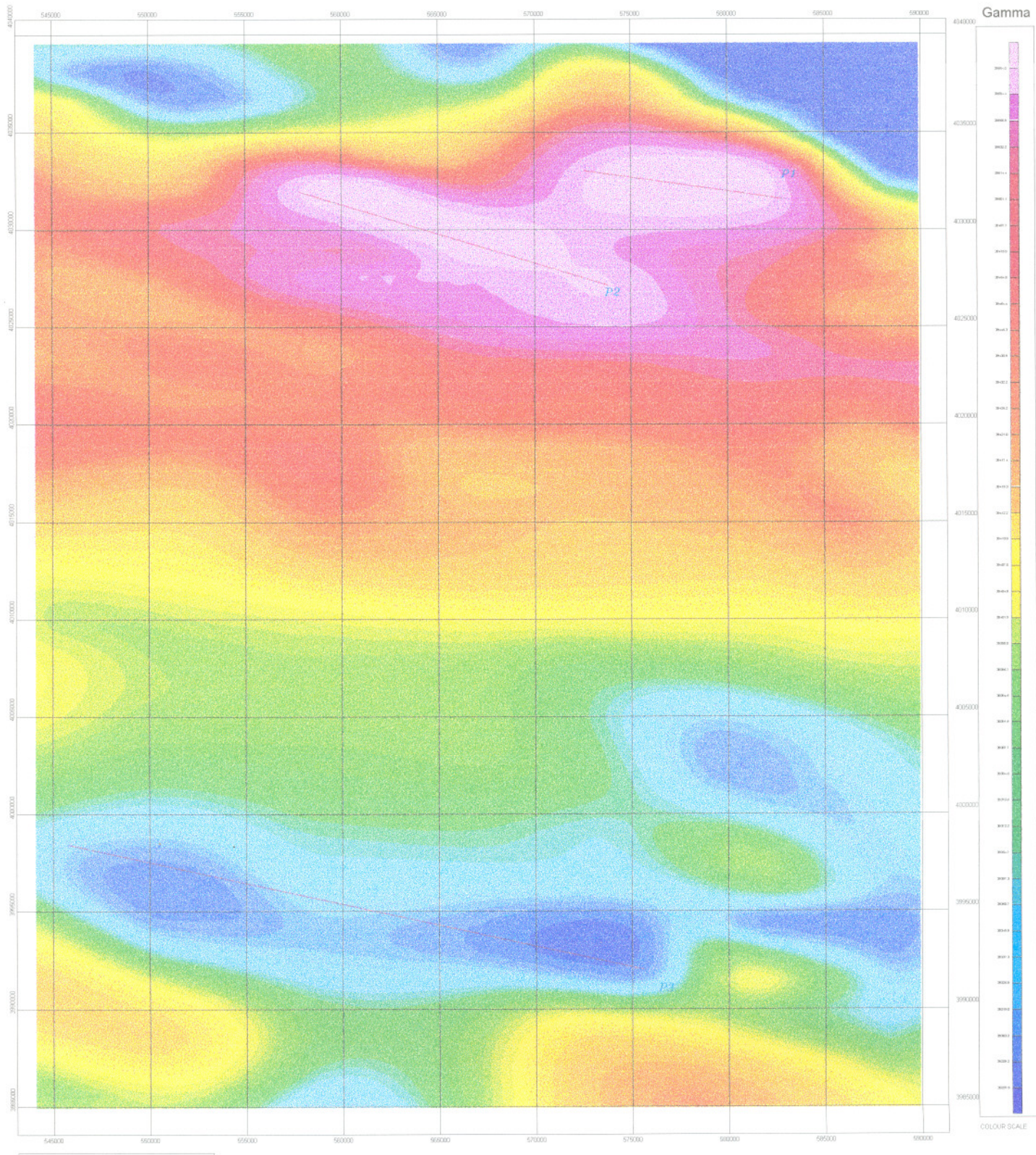
سوسپیتیلته ۴۸۱/۰۰۴۸۱ و عمق ۳۲۸ متر و عرض ۷۱۲۲ متر و طول ۲۸۵۰ متر و ضخامت

۱۸۹۸۲۱ متر می باشد.

در این سه پروفیل بیشترین سوسپیتیلته مربوط به پروفیل اول (۳۱۲/۰) می باشد که متعلق به

توده آندزیتی بازالتی و توفها است.

AEROMAGNETIC MAP SABZEVAR



Total Magnetic Intensity

Flight Interval: Traverse 7.5 Kms
 Tie Line: 40 Kms
 Modeling position: P1
 Projection: U.T.M. 10,000 meters grid
 WGS84
 Zone 40
 Date: 10/97

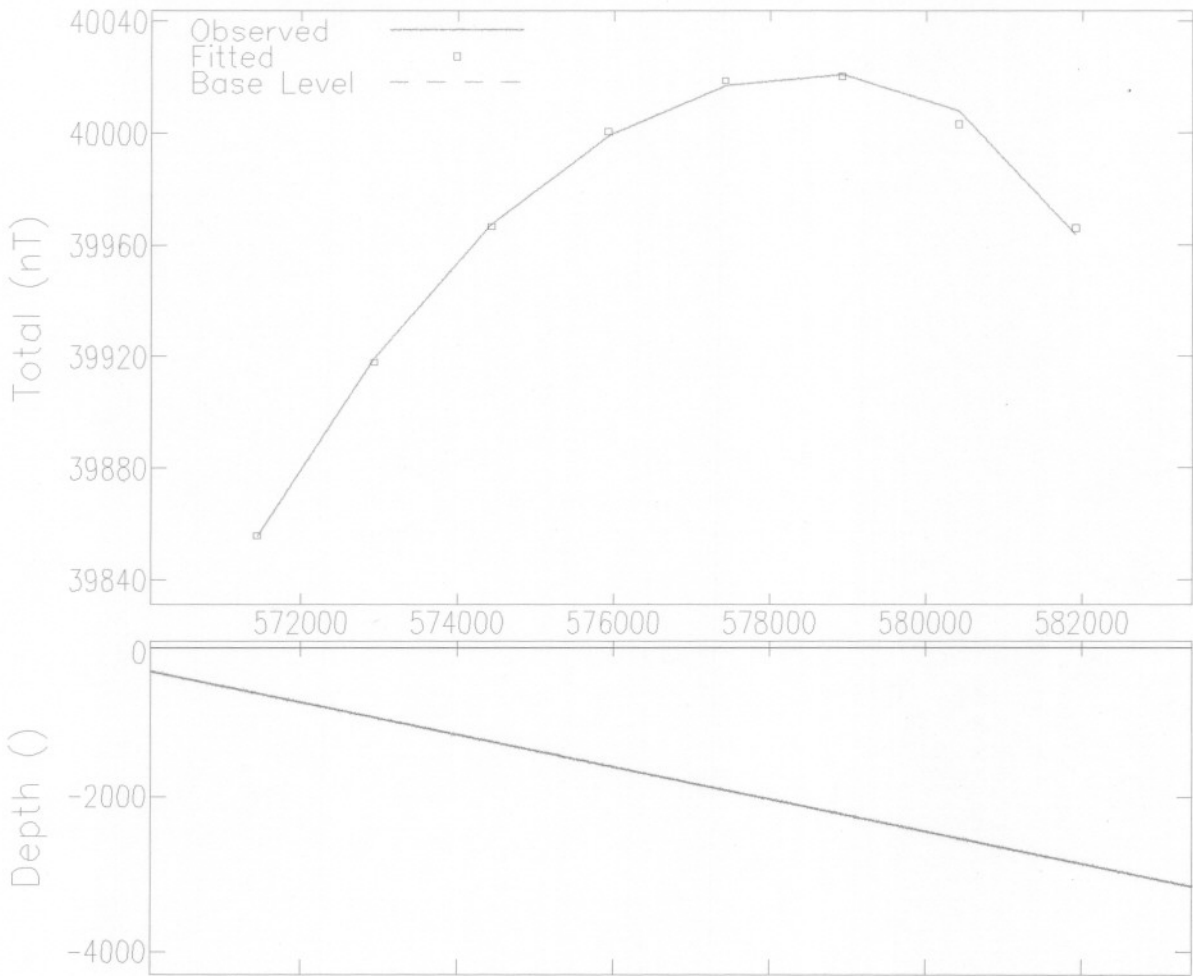
Scale: 1/100000
 1000 0.0 1000 2000 3000
 (metres)

GEOLOGICAL SURVEY OF IRAN

G.I.S GROUP

M.Alavi & A.Hashemi

Profile 1



MODEL PARAMETERS:

Model Type	Tabular2
Depth	L 84.1
Half Width	F 8215
Half Length	X 5250
Offset	X 0
Dip	F 12 deg
Thickness	F 3756
Susceptibility	F 0.0312 emu
Remnance Ratio	X 0
Remnance Incl	X 0 deg
Remnance Decl	X 0 deg
Main Position	F 576820.9
Cross Position	X 4031808
Base Level	F 39422.86 nT
Base Slope	F .0042564 nT/
Base Curvature	X 0 nT/2

(F-fitted, X-fixed, L-limit)

GEOMAGNETIC FIELD:

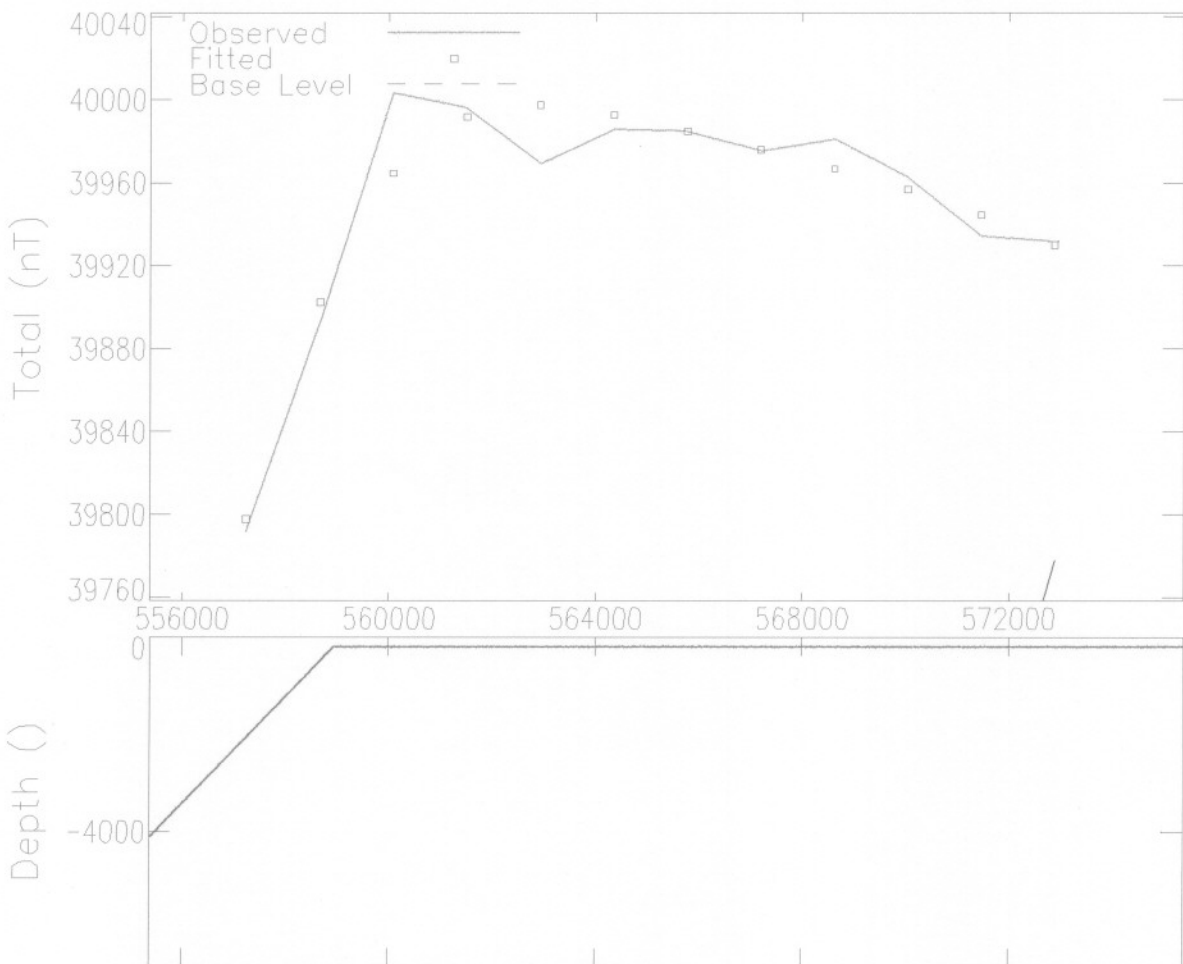
Field Strength	39998.86 nT
Inclination	54 deg
Declination	3 deg

COORDINATES:

Sensor Height	7125
Strike Perp	0 deg
Line Direction	8 deg
Main Direction	12 deg
Main Offset	
Cross Direction	102 deg
Cross Offset	

Modeling Result

Profile 2



MODEL PARAMETERS:

Model Type	Tabular2
Depth	L 207
Half Width	F 12341
Half Length	X 8250
Offset	X 0
Dip	F 134 deg
Thickness	F 162949
Susceptibility	F 0.0214 emu
Remnance Ratio	X 0
Remnance Incl	X 0 deg
Remnance Decl	X 0 deg
Main Position	F 570641.9
Cross Position	X 4028004
Base Level	F 39583.86 nT
Base Slope	F .0821882 nT/
Base Curvature	X 0 nT/2

(F-fitted, X-fixed, L-limit)

GEOMAGNETIC FIELD:

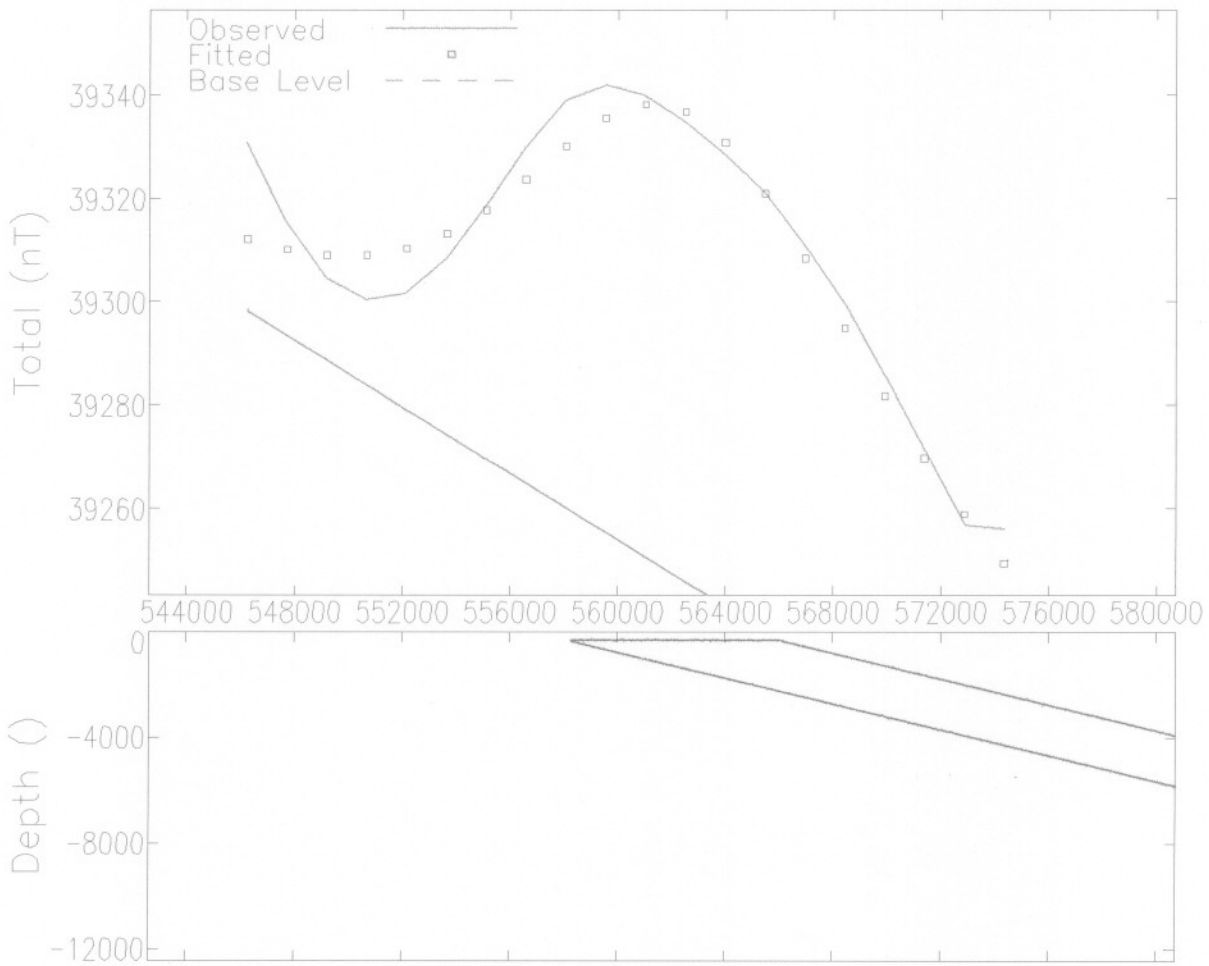
Field Strength	39984.32 nT
Inclination	54 deg
Declination	3 deg

COORDINATES:

Sensor Height	7125
Strike Perp	0 deg
Line Direction	-6 deg
Main Direction	12 deg
Main Offset	
Cross Direction	102 deg
Cross Offset	

Modeling Result

Profile 3



MODEL PARAMETERS:

Model Type	Tabular2
Depth	L 328
Half Width	F 3961
Half Length	X 14250
Offset	X 0
Dip	F 14 deg
Thickness	F 189821
Susceptibility	F 0.00481 emu
Remnance Ratio	X 0
Remnance Incl	X 0 deg
Remnance Decl	X 0 deg
Main Position	F 562176.9
Cross Position	X 3994716
Base Level	F 39246.74 nT
Base Slope	F -.0031754 nT/
Base Curvature	X 0 nT/2

(F-fitted, X-fixed, L-limit)

GEOMAGNETIC FIELD:

Field Strength	39338.1 nT
Inclination	54 deg
Declination	3 deg

COORDINATES:

Sensor Height	7125
Strike Perp	0 deg
Line Direction	3 deg
Main Direction	12 deg
Main Offset	
Cross Direction	102 deg
Cross Offset	

Modeling Result

۴-۴- بررسی نتایج استفاده از روش گسترش به طرف بالا

بطورکلی با در نظر گرفتن بی‌هنچاری‌های مغناطیسی حاصل از مقادیر اندازه‌گیری شده و تقسیم آنها به بی‌هنچاری‌های با طول موج کوتاه (نوفه‌ها در این دسته قرار می‌گیرند) و بی‌هنچاری‌های با طول موج بلند، بی‌هنچاری‌های سطحی و منطقه‌ای را از یکدیگر تفکیک کرده و با بهره‌بردن از امکانات کامپیوتری با سهولت بیشتر و صرف وقت کمتری می‌توان پارامترهای بیشتر و دقیق‌تری را جهت تفسیر در نظر گرفت.

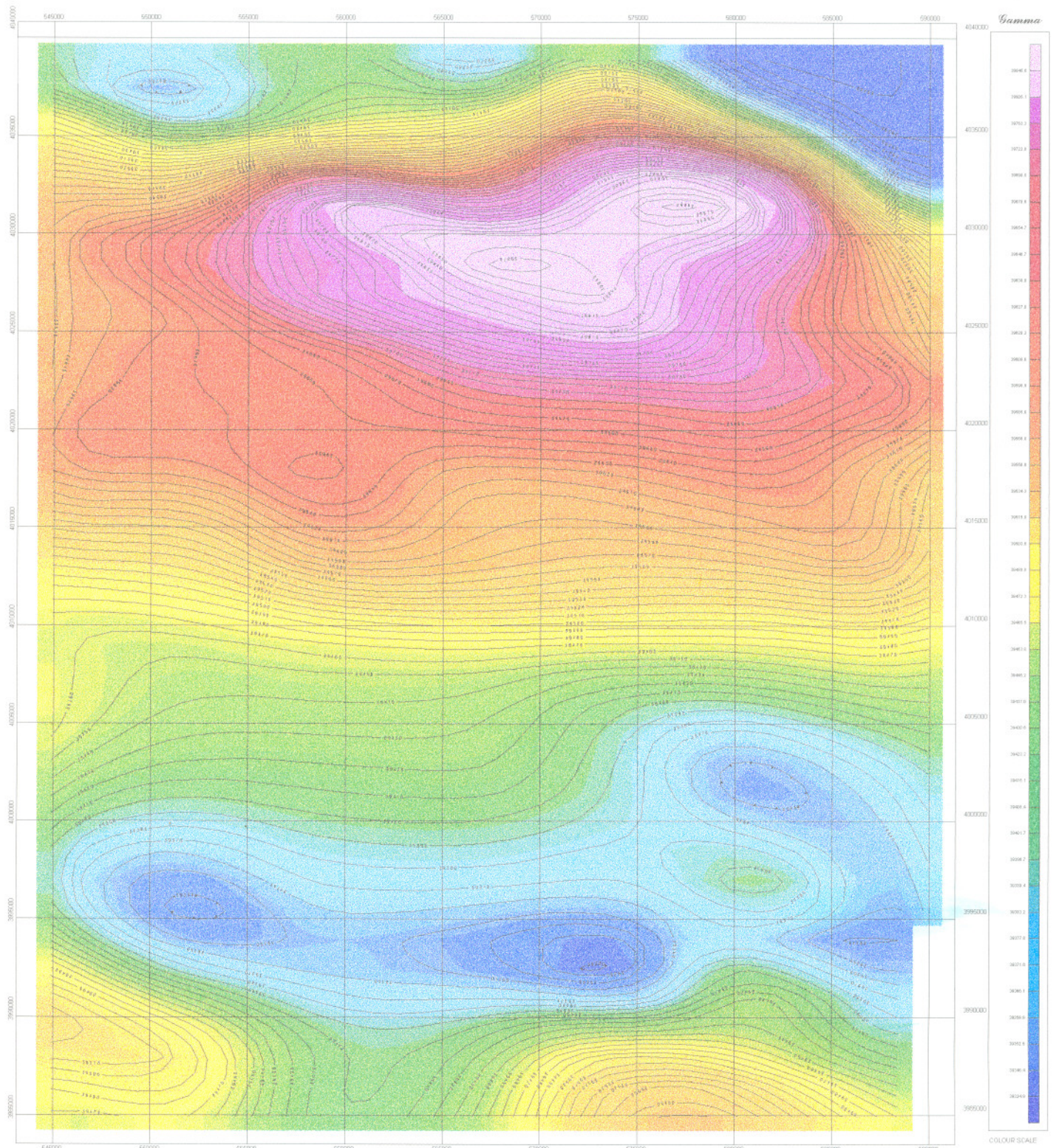
در نقشه‌های شماره (۶ و ۷ و ۸) داده‌ها با استفاده از روش گسترش به طرف بالا به سطحی بالاتر به ترتیب ۱۰۰۰ و ۳۰۰۰ و ۵۰۰۰ متر انتقال داده شده‌اند، با استفاده از این روش با کاکاش یا حذف آنومالی‌های سطحی و موضعی، آنومالی‌های منطقه‌ای خود را بهتر نشان می‌دهند. برای مطالعات زمین‌شناسی، شناخت پی‌سنگ و دنبال کردن عوارض تکتونیکی در عمق این روش مناسب می‌باشد.

دامنه بی‌هنچاری اصلی در نقشه شماره ۶ و ۷ و ۸ به ترتیب ۳۹۸۸۵ گاما، ۳۹۷۲۳ گاما،

AEROMAGNETIC MAP SABZEVAR



Gamma



Total Magnetic Intensity

(UPWARD CONTINUATION 1000m)

Flight Interval: transect 7.5 Kms

Tie Line: 48 Kms

Projection: U.T.M. 10,000 meters grid

99/05/04

Zone 40

Scale 1/200000



GEOLOGICAL SURVEY OF IRAN

G.I.S GROUP

M.Alavi & A.Hisbemi

۳۹۶۳۸/۹ گاما می باشد که با افزایش ارتفاع سطح، کاهش یافته است. و مرکز آنومالی به سمت

جنوب و غرب کشیده می شود.

دو بی هنجاری در شمال نقشه که ابتدا به نظر می رسد دو بی هنجاری جدا از هم هستند که

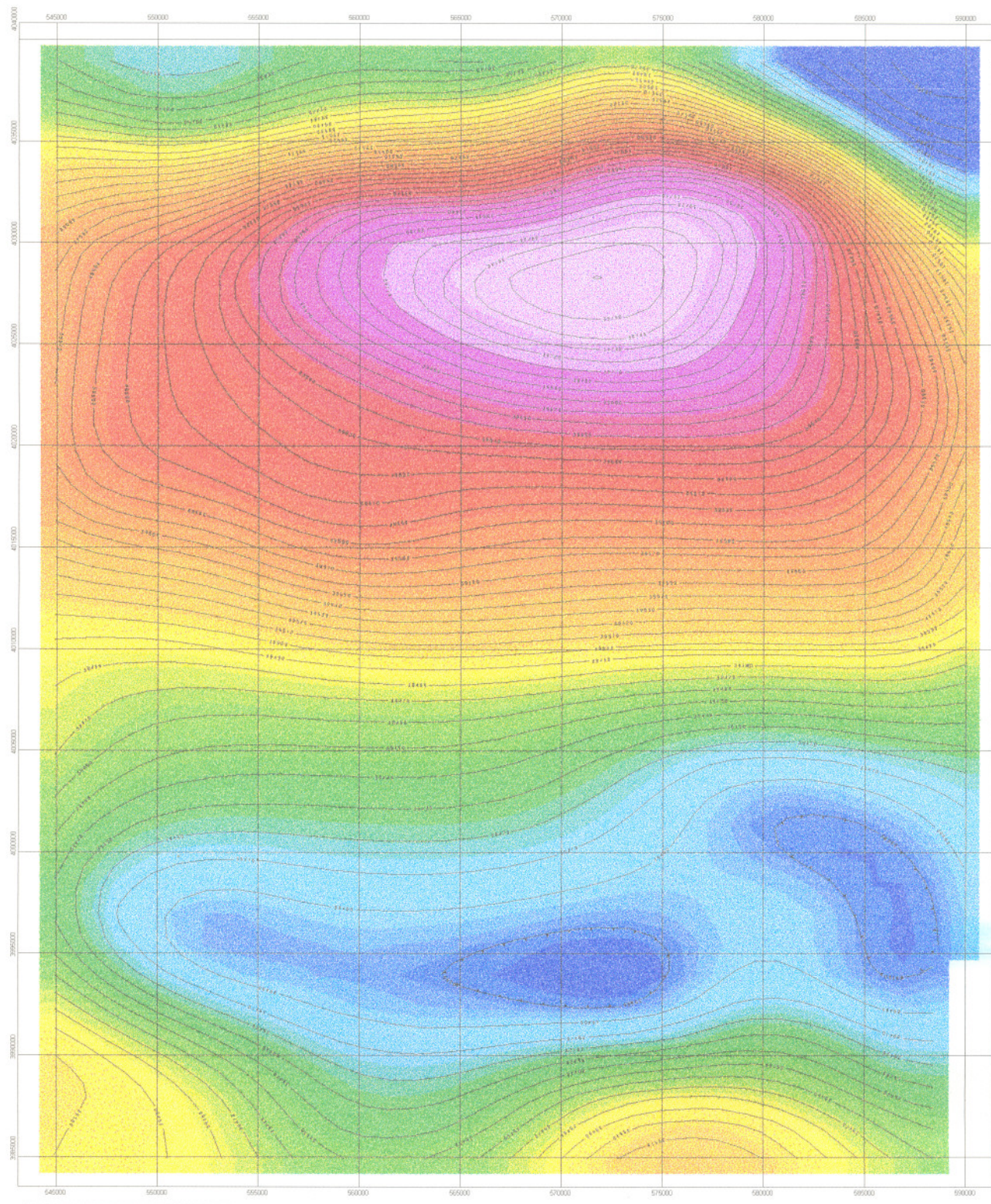
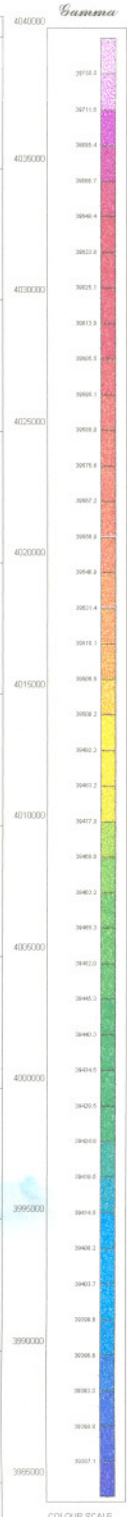
دامنه بی هنجاری بزرگتر بی هنجاری دیگر را تحت تأثیر قرار داده است. اما با انتقال داده ها به

سطح بالاتر $m 3000$ ، $m 5000$ مشخص می گردد که منشاء هر دو بی هنجاری در ارتباط با یک

توده عمیق سرپا نتیت می باشد که رخمنونهای آن بصورت پراکنده در منطقه قابل مشاهده است.

AEROMAGNETIC MAP

SABZEVAR



Total Magnetic Intensity
(UPWARD CONTINUATION 3000 m)

Flight Interval: traverse 7.5 Kms
Tie Line: 40 Kms
Projection: U.T.M. 10,000 meters grid
WGS84
Zone 40

Scale 1/300000

4000 3000 2000 1000
(meters)

GEOLOGICAL SURVEY OF IRAN

G.I.S GROUP

M.Alam & A.Hashemi

AEROMAGNETIC MAP SABZEVAR

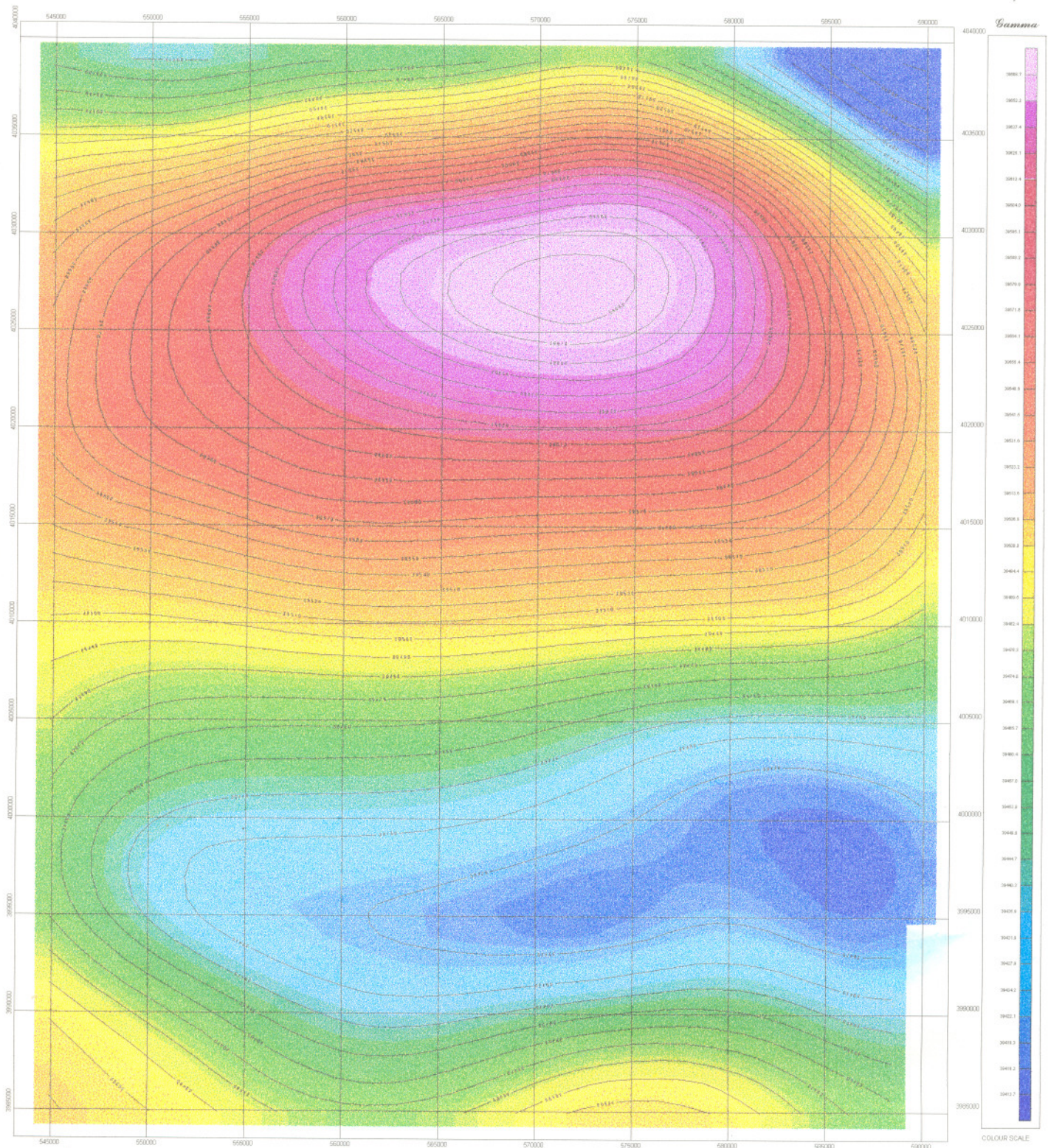


FIG NO: 8

۴-۵- بررسی نقشه مشتق دوم قائم

بطورکلی در نقشه‌های مشتق قائم از این جهت که بی‌هنجاريهايی که در ارتباط با توده‌های نزديک به سطح را می‌باشد مشخص می‌کند در کارهای اكتشافی حائز اهمیت بوده و در روش مغناطیس سنجی کاربرد فراوان دارد.

در مورد داده‌های مغناطیس هوایی به علت ارتفاع زیاد منیتور متر مشتق دوم قائم دارای اهمیت بیشتری است در این روش همانطور که در نقشه مشاهده می‌شود بی‌هنجاريهاي کوچک و محلی که تحت تأثیر بی‌هنجاريهاي بزرگ قرار داشتند و مشخص نبودند با تخفیف و یا محو شدن و از میان رفتن بی‌هنجاريهاي منطقه‌ای قابل تشخیص گردیده‌اند.

برای افزودن به دقیق و قرار گرفتن توده‌های بی‌هنجار در مکانهای واقعی و با استفاده از زاویه میل و زاویه انحراف مغناطیسی منطقه از روش برگردان به قطب در منطقه استفاده شده است.

(Reduction To magneticpole)

بی‌هنجاري عميق اشاره شده که در روش گسترش به بالا توضیح داده شد مربوط به

سرپانتینیتها در منطقه می‌باشد چون این توده عمیق است و رخمنوهای کوچک در سطح دارد.

در نقشه مشتق دوم اثر آن کم شده و آنومالی‌های سطحی در گدازه‌های آندزیت بازالتی دیده

می‌شود و این یک نمونه قابل توجه از کاربرد روش‌های مختلف ذکر شده در دست‌یابی به

اطلاعات مفید و تجزیه و تحلیل دقیق‌تر در ارتباط با مناطق مورد مطالعه با روش مغناطیس‌سنگی

می‌باشد.

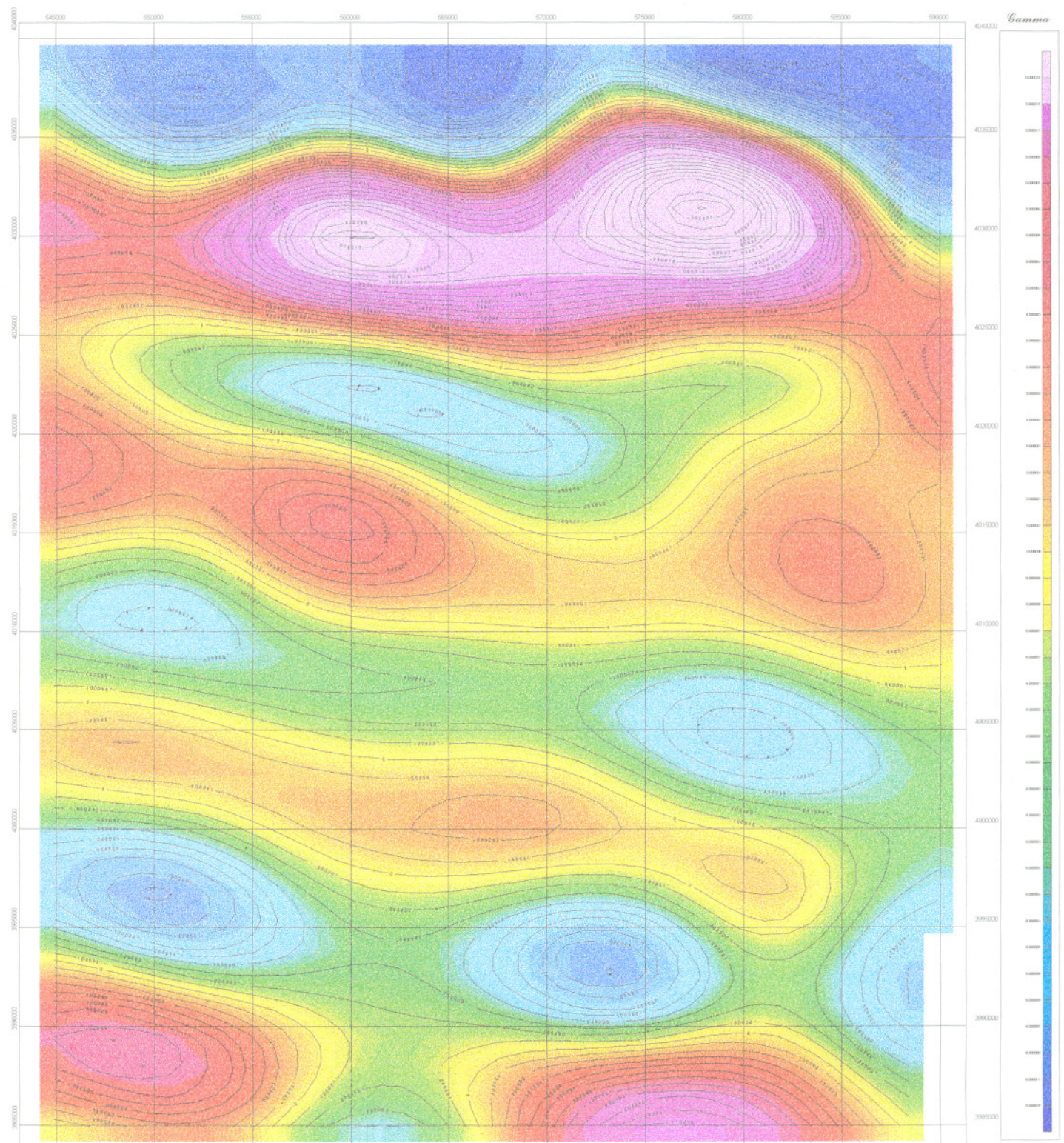
بقیه منطقه دارای شدت میدان مغناطیسی پائین است البته در جنوب منطقه در بی‌هنجری با

شدت پائین قابل مشاهده است که بی‌هنجری جنوب شرقی مربوط به توده اسکارن سطحی

می‌باشد که در نقشه گسترش به بالا حذف گردیده است و توده جنوب غربی مربوط به توده‌های

گرانیتی در منطقه باشتنی می‌باشد که اثر آن تا این ناحیه امتداد یافته است.

AEROMAGNETIC MAP SABZEVAR



Total Magnetic Intensity

(SECOND VERTICAL DERIVATIVE)

Flight Interval: traverse 7.5 Km

Tie Line: 40 Km

Projection: U.T.M. 10,000 meters grid

WGSS4

Zone 40

Scale of 1:200,000

1000 500 400 300 200 100

metres

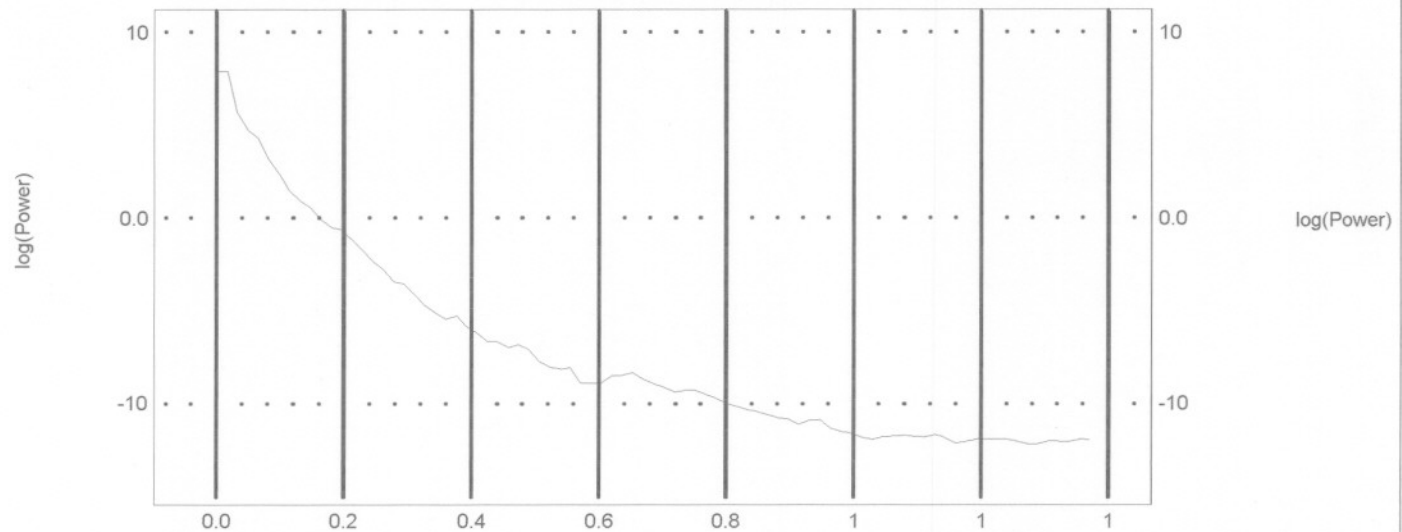
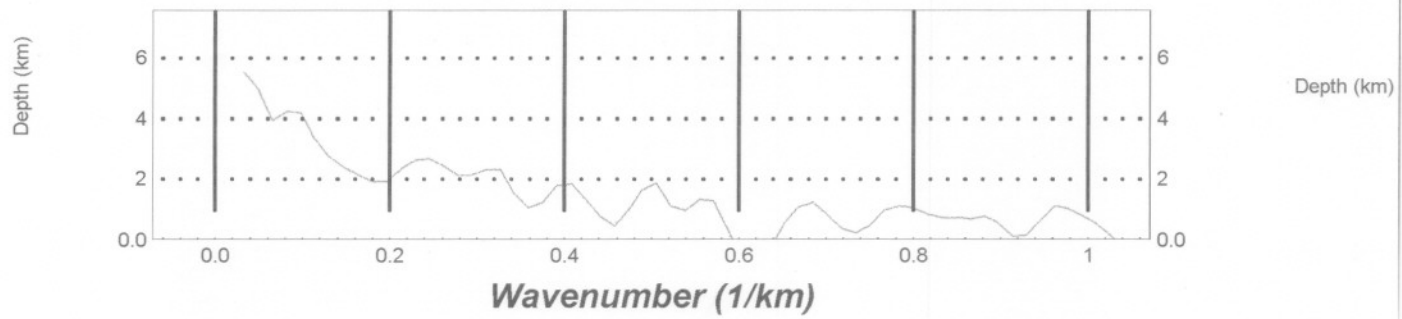
GEOLOGICAL SURVEY OF IRAN

G.I.S GROUP

M.Azav & A.Hashemi

SABZEVAR

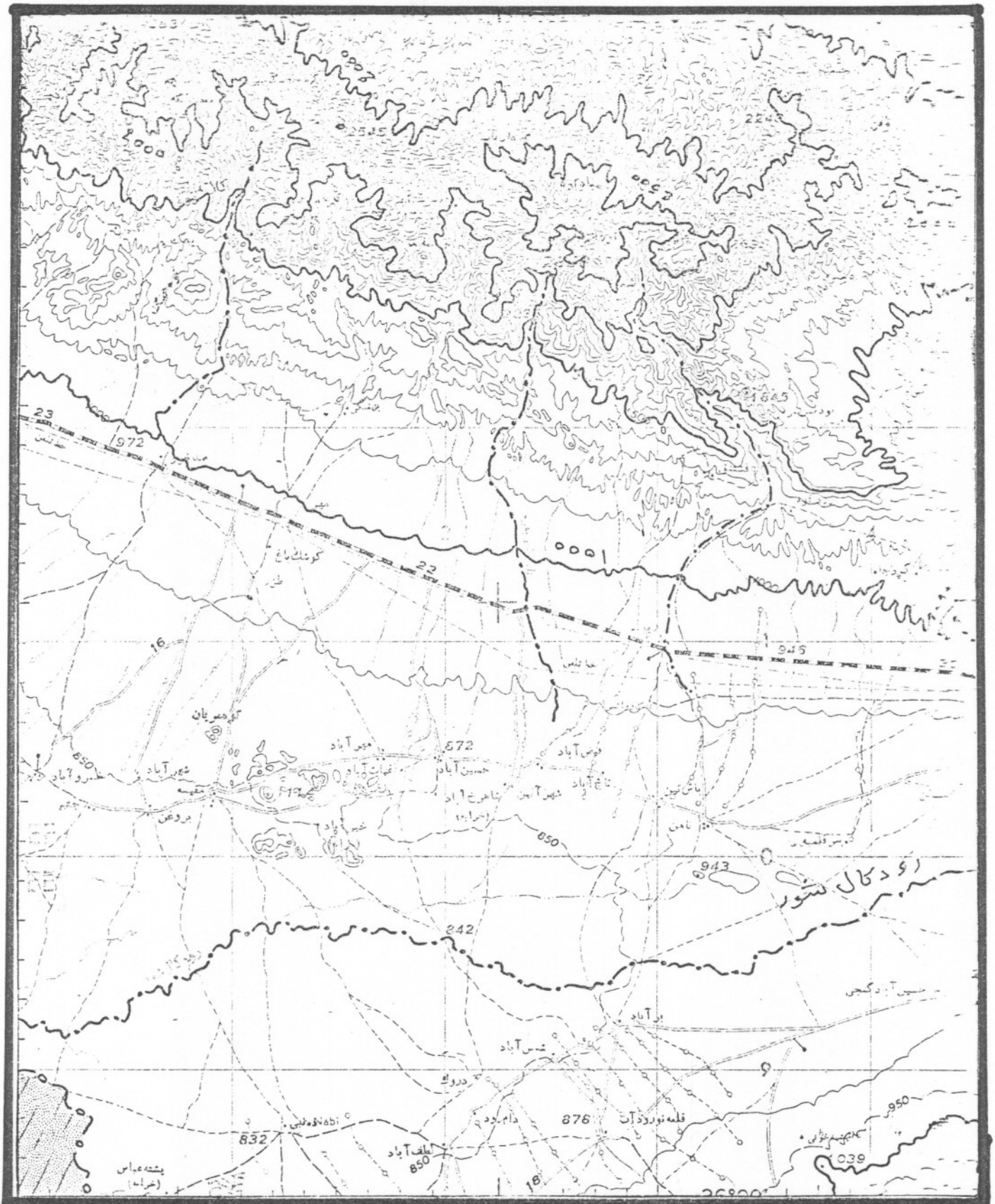
SABZEVAR

RADIALY AVERAGED POWER SPECTRUM**DEPTH ESTIMATE**

موقعیت جغرافیایی منطقه باشتن

این منطقه در استان خراسان و در فاصله ۳۰ کیلومتری سبزوار عرض جغرافیایی ۳۶ تا ۳۶/۵ شمالی و طول جغرافیایی ۵۷ تا ۵۷/۵ شرقی واقع گردیده است.

در نقشه توپوگرافی منطقه مورد مطالعه (مقیاس ۱:۲۵۰,۰۰۰) و در نقشه مغناطیس هوایی منطقه (۱:۲۵۰,۰۰۰) موقعیت جغرافیایی گستره باشتن مشخص گردیده است.

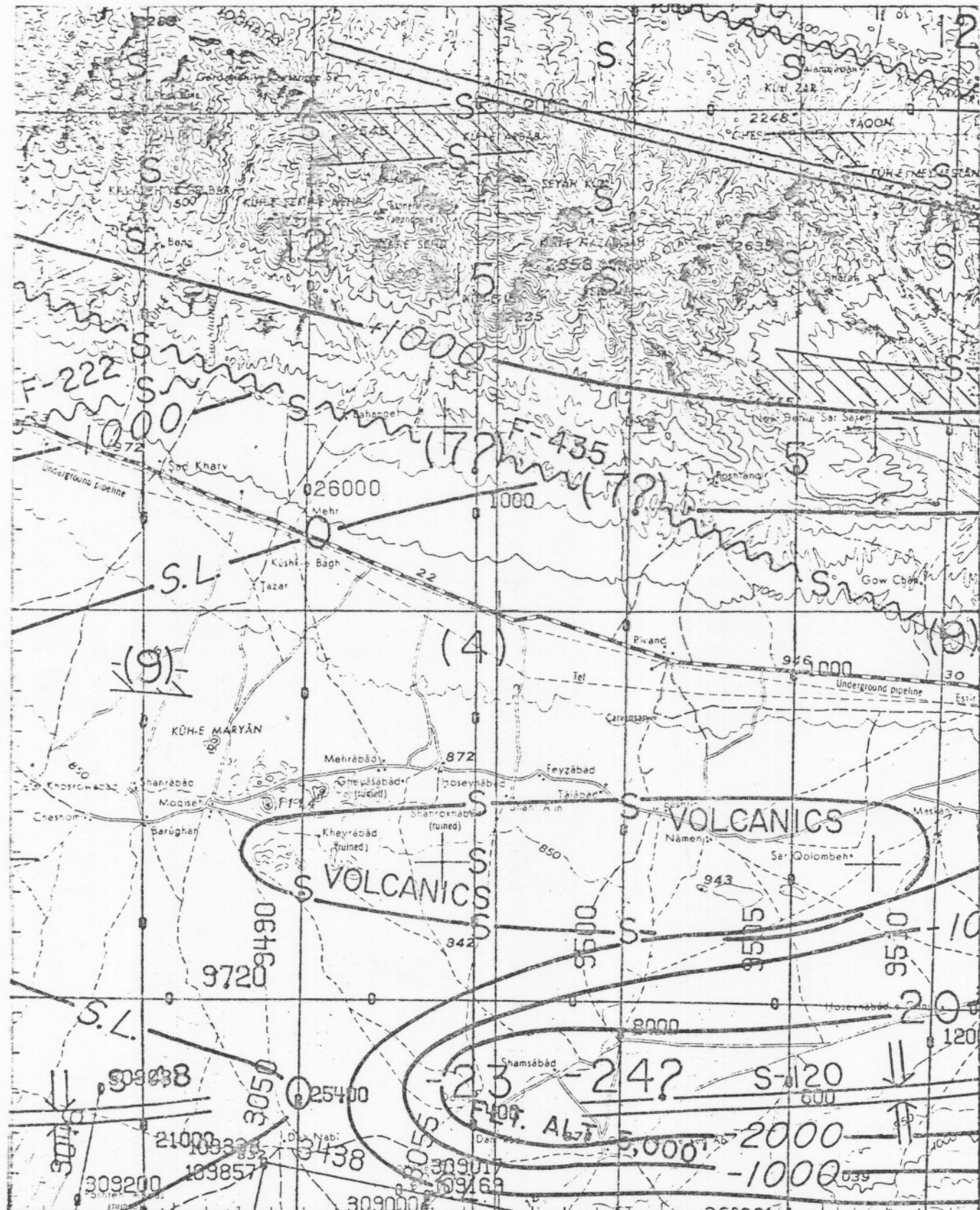


(شىل 1)

باقىقىن باقىقىن

نقش توپوگرافى

(1:25000) باقىقىن



(شل)

نقشه: ۱:۲۵۰,۰۰۰

۲- بررسی نقشه شدت کل میدان مغناطیسی

الف- منطقه باشتبین

نتایج حاصل از مطالعات انجام شده حاکی از این می‌باشد که :

حداکثر شدت میدان مغناطیسی در قسمت شمال شرق $40^{\circ}09'22''$ گاما و حداقل شدت

میدان مغناطیسی در جنوب شرق $39^{\circ}33'48''$ گاما می‌باشد. اختلاف شدت میدان مغناطیسی

$753/95$ گاما است. با توجه به نقشه شدت کل میدان مغناطیسی، بی‌亨جاری اصلی در قسمت

شمال شرق نقشه مشاهده می‌شود به طوری که دو بی‌亨جاری دیگر در جنوب و جنوب غرب آن

واقع است.

روندهای آنومالی در منطقه شمال غرب - جنوب شرق می‌باشد که با توجه به زمین‌شناسی

منطقه مشخص می‌گردد که این روند با روند مجموعه افیولیتی در منطقه یکسان می‌باشد و عمدۀ

بی‌亨جاری مغناطیس منطقه متعلق به این سری افیولیتی (هارزبورژیت، دونیت سرپنتینی شده)

می‌باشد که این موضوع با نظریه تشکیل کرومیت در ستون افیولیتی به همراه دونیتها،

هارزیورزیت همسویی دارد لذا این واحد سنگی در پتانسیل معدنی منطقه نقش اساسی خواهد

داشت و جهت پی‌جوبی این ماده معدنی می‌بایست واحد سنگی هارزیورزیت و دونیت

سرپنتینی شده را در منطقه جستجو نمود. البته محدوده‌هایی که از این لحاظ روی این واحدها

مورد توجه بوده‌اند روز نقشه به صورت بلوک‌هایی مشخص شده است.

دسته دوم بی‌هنچاری با شدت کمتر که در مرکز نقشه مشاهده می‌شود، احتمال می‌رود ناشی

از کنگلومراهای حاوی قطعات افیولیت در منطقه، و یا ناشی از گابروهای پگماتوئیدی فراوان در

منطقه، همچنین ناشی از ولکانیکها و توده‌های نفوذی می‌باشد.

دسته سوم : بی‌هنچاریهای کوچک در جنوب شرق منطقه در اطراف رودخانه کال‌شور

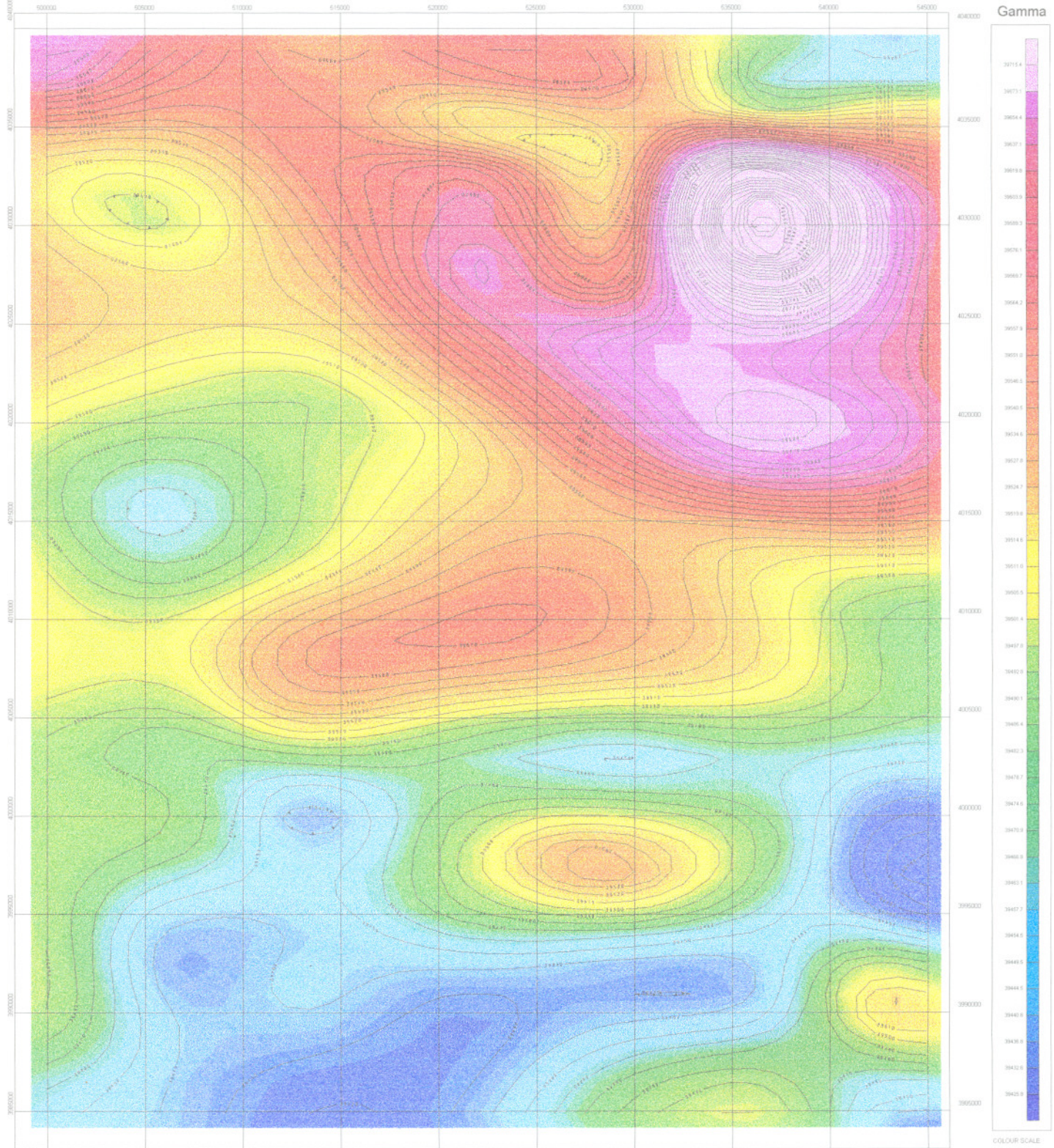
مشاهده می‌شود که احتمال می‌رود کالرملانژ و ولکانیکهای ائوسن در مرکز منطقه باعث

آنمالیهای مغناطیسی در آن نزدیکی شده‌اند.

بقیه منطقه دارای شدت میدان مغناطیسی پائین می‌باشد که ناشی از تشکیلات رسوبی،

کنگلومرا، آهک پلاژیک و ... در منطقه می‌باشد.

AEROMAGNETIC MAP BASHTIN



Total Magnetic Intensity

(UPWARD CONTINUATION 100m)

Flight Interval Inverse 7.5 Km/s

Tie Line 40 Km

Projection UTM 10,000 meters grid

WGS84

Zone 40

Rev. 1991

Scale 1:900000

1000 0 1000 2000 3000

(metres)

GEOLOGICAL SURVEY OF IRAN

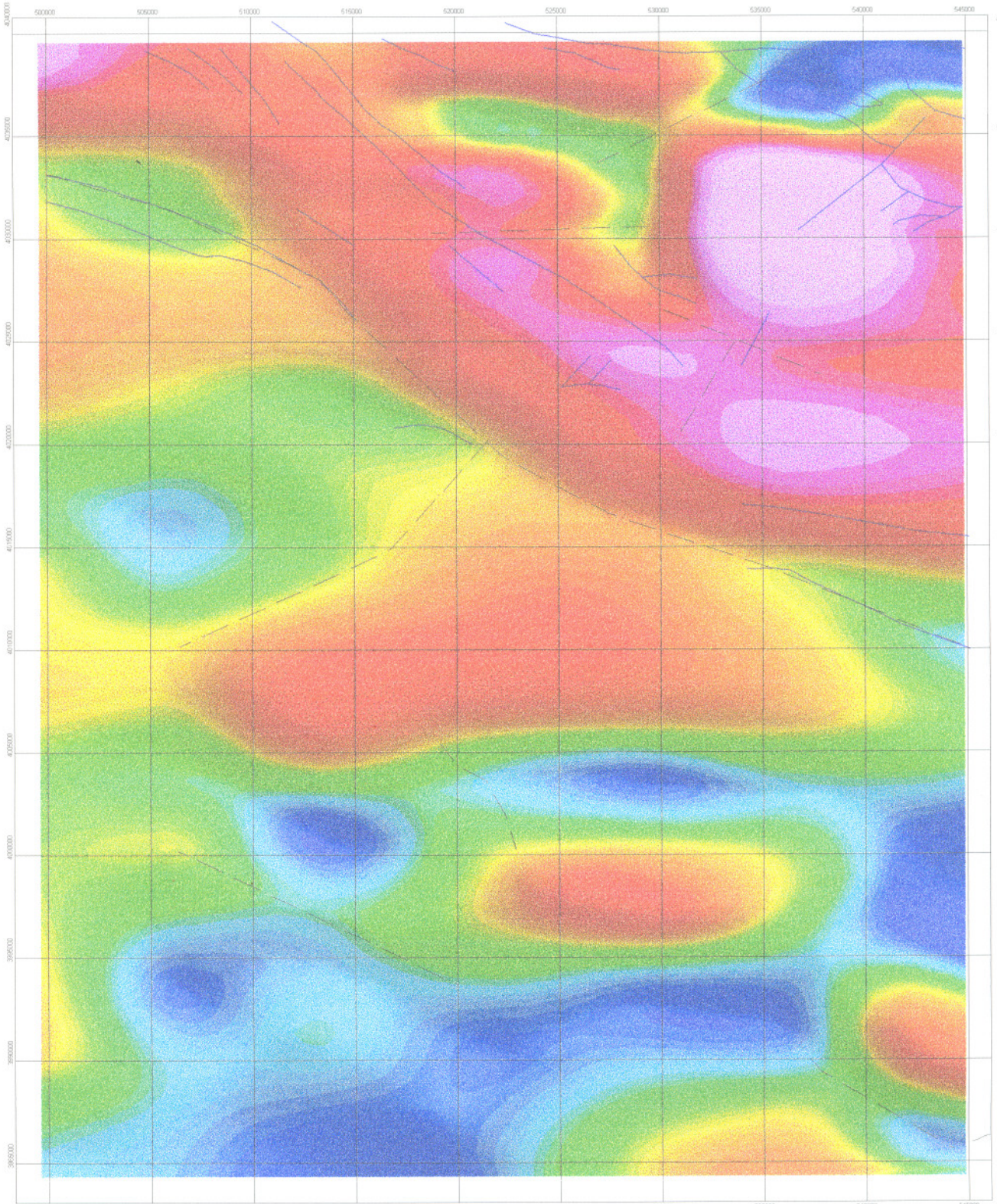
G.I.S GROUP

M.Alavi & A.Hashemi

AEROMAGNETIC MAP BASHTIN



Gamma



Total Magnetic Intensity

COLOUR SHADOW MAP

Flight interval : traverse 7.5 kms

Tie Line : 40

Projection : U.T.M. 10,000 meters grid

WGS84

Zone 40

Inclination angle : 45

Declination angle : 45

Date : 01/9

Scale : 1:200000



(metres)

GEOLOGICAL SURVEY OF IRAN

G.I.S GROUP

M.Alavi & A.Hashemi

FIGNo:11

۳- بررسی نقشه انطباق شدت کل مغناطیسی و زمین‌شناسی باشتنی:

پس از رقمنگاری نقشه زمین‌شناسی باشتنی جهت انطباق آن با نتایج مغناطیسی سنجی، این

نقشه را ابتدا به **Vector** تبدیل نموده و سپس با استفاده از امکانات نرم‌افزاری با شدت میدان کل

مغناطیسی انطباق داده شده است، بر اساس نتایج حاصله از انطباق فوق مشخص می‌گردد که

آنمالی اصلی در شمال شرق منطقه مشاهده می‌شود که نشان دهنده مجموعه افیولیتی

(دونیت و هارزبورزیت، اسپیلیت دیاباز) می‌باشد. بی‌亨جاری موجود در قسمت پائین منطقه

ناشی از سنگهای بازالت در ناحیه می‌باشد.

در مرکز نقشه بی‌亨جاری نمایان گشته ولی با انطباق با نقشه **Signal** مشخص گردید که این

بی‌亨جاری تحت تأثیر اطراف بوده است و عمیق نمی‌باشد. در مختصات ۳۹۹۵۰۰۰ تا

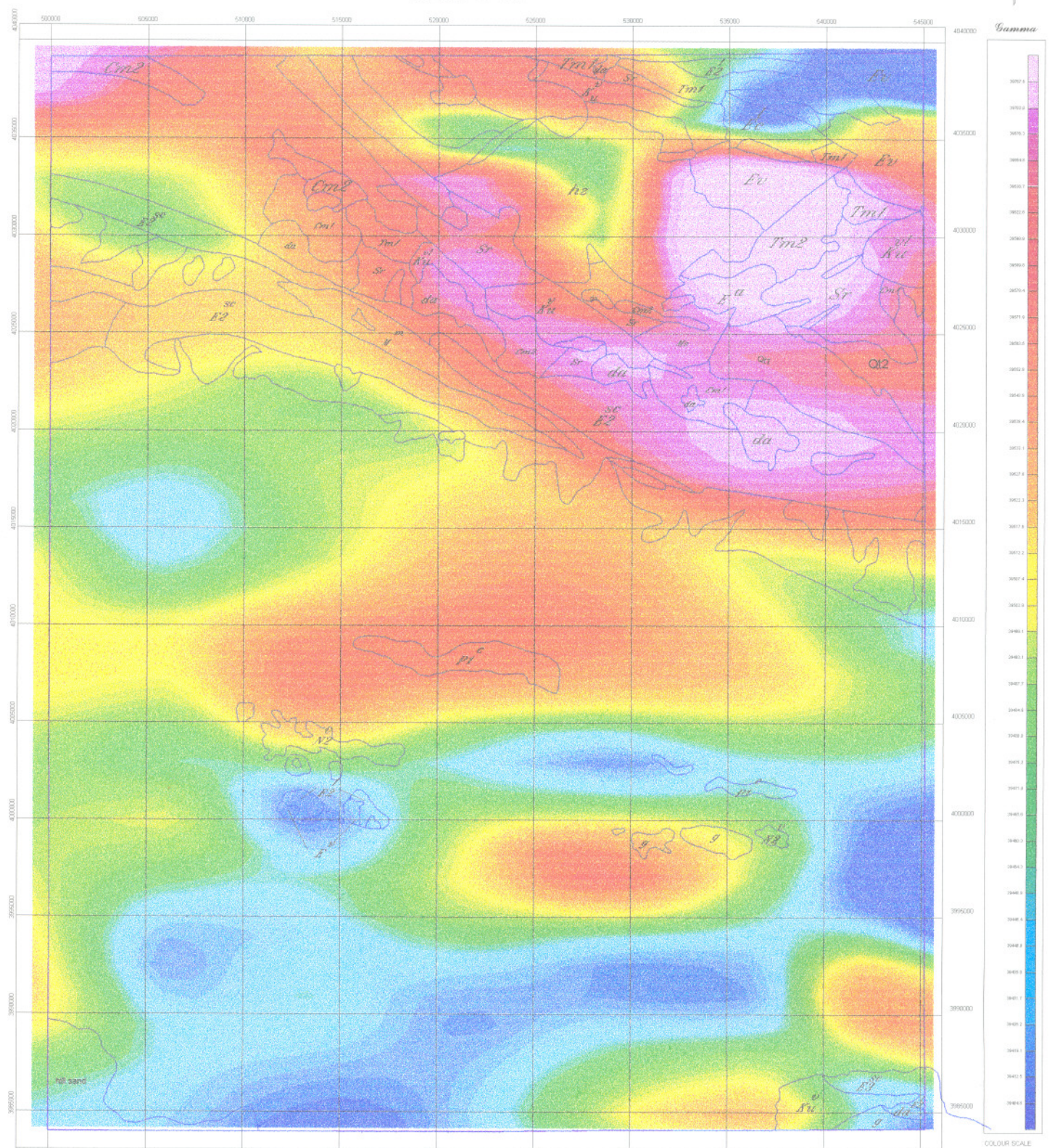
۴۰۰۰۰۰۰ آبرفت نمایان است ولی در نقشه **Singal** این قسمت شدت بالایی را از خود نشان

داده از این می‌توان نتیجه گرفت که آبرفهای موجود در این قسمت روی مواد مغناطیسی را

پوشانده است و در زیر آبرفتها نهشته‌های مغناطیسی وجود دارد. در منطقه باشتنی منبع اصلی

بی هنجاری هارزبورژیت‌ها می‌باشد بدین ترتیب برای اکتشاف باید سنگهای هارزبورژیتی را جستجو نمود و بهترین کاوش را می‌توان در شمال شرق منطقه انجام داد.

AEROMAGNETIC MAP BASHTIN



Total Magnetic Intensity

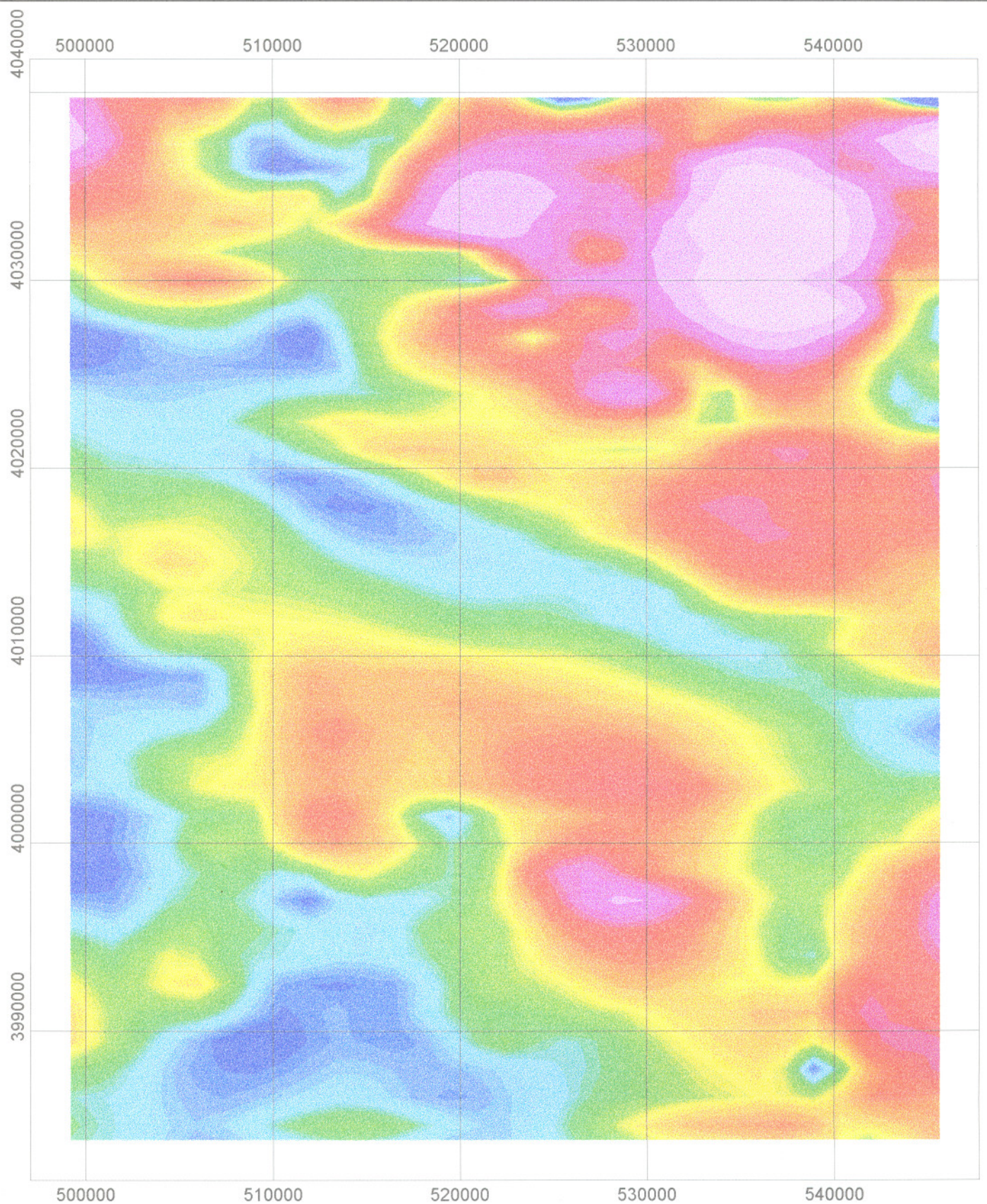
Flight Interval: traverse 7.5 Kms
 Tie Line: 40 Kms
 Contour Interval: 10 Gamma
 Projection: U.T.M. 10,000 meters grid
 WGS84
 Zone 40

Scale of 1:100,000
 0 5000 10000 15000 20000
 Kilometres

GEOLOGICAL SURVEY OF IRAN

G.I.S GROUP

M.Alavi & A.Hashemi



5000 0.0 5000
— (metres)

BASIN
Analytic signal

FIG No : 13



۴- بررسی نتایج نقشه مدل‌گذاری

برای شناخت بهتر روی چند بی‌هنجاری موجود در منطقه مدل‌گذاری معکوس با استفاده از

امکانات نرمافزاری و پارامترهای مشخص و معین صورت گرفته است که نتایج آن به شرح زیر

می‌باشد:

در پروفیل شماره (۱) یک توده زیرسطحی بصورت دایک در نظر گرفته شده که منحنی

اندازه‌گیری شده با منحنی مدل تطابق مناسبی دارد نتایج حاصله عمق ۱۳۱ متر و عرض توده

۱۶۲۵ متر و خودپذیری $8\% \text{emu}$ را نشان می‌دهد.

در پروفیل شماره (۳) که روی توده با شدت کمتر ولی در منطقه‌ای با گستردگی بیشتر زده

شده، عمق توده کمتر است.

در پروفیل شماره (۵) که روی گرانیتهای منطقه زده شده است با تطبیق با نقشه گسترش بالا

سطحی بودن آن نمایان است. البته عمق توده به علت کوتاه بودن طول پروفیل بیش از آنچه که

باید باشد در آمده است.

جالب توجه آنست که عمق توده جنوبی کمتر از توده مرکزی است و این با نتایج حاصل از فیلتراسیون گسترش به بالا تطابق کامل دارد. همچنین عمقی بودن توده شمالی و عمق کمتر دو توده کناری آن نشانده‌هنده این است که دو توده تحت تأثیر توده اصلی شمالی قرار گرفته‌اند و خود عمق زیادی ندارد.

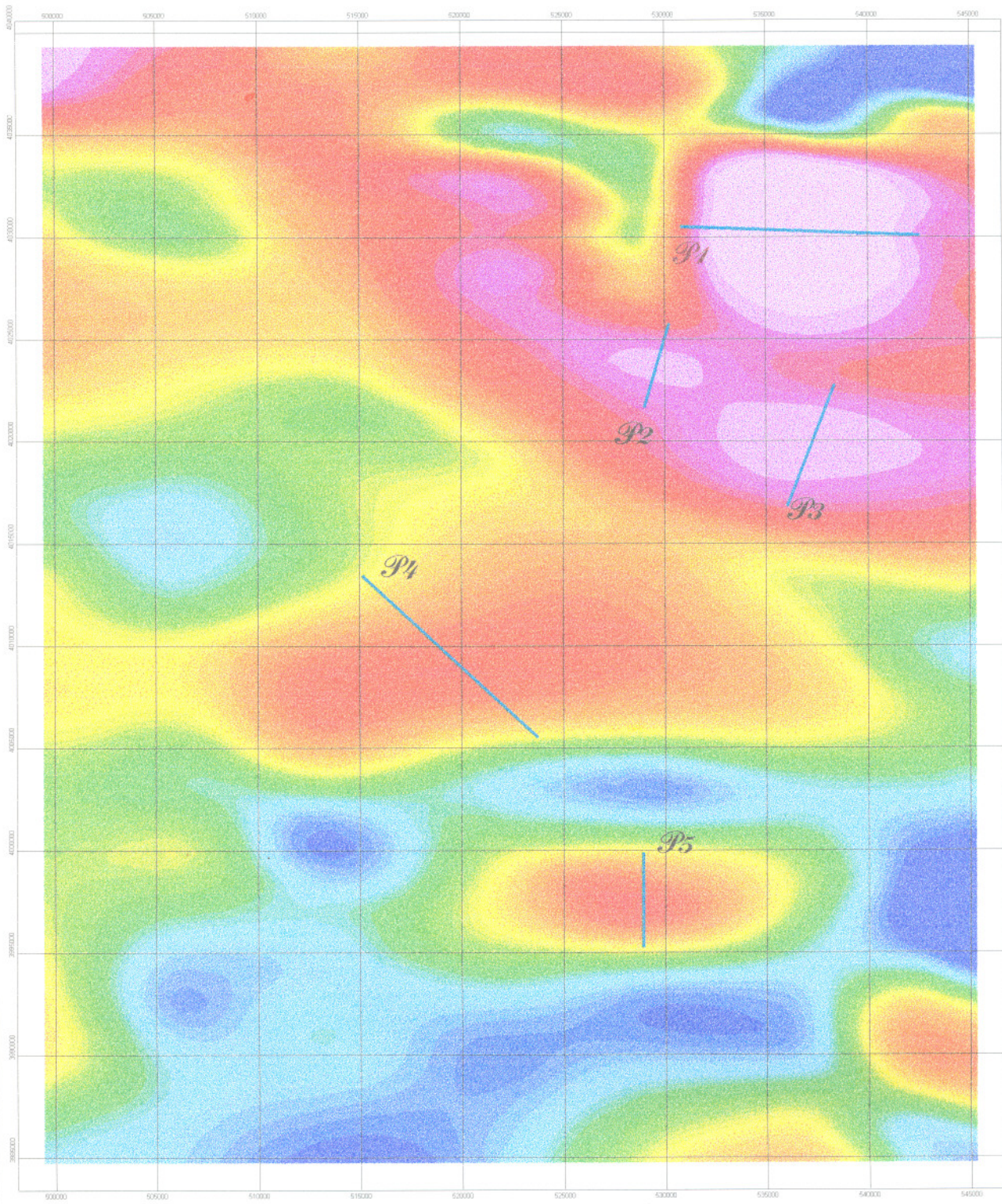
شایان ذکر است که به علت گستردنگی کار از بحث در مورد دیگر پروفیلهای زده شده خودداری می‌کنیم.

AEROMAGNETIC MAP BASHTIN



Gamma

COLOUR SCALE



Total Magnetic Intensity	
Flight Interval	traverse 7.5 Km
Tie Line	40 Km
Modeling Position	P1
Projection	U.T.M. 10,000 meters grid
WGS84	
Zone 40	Date - 1977

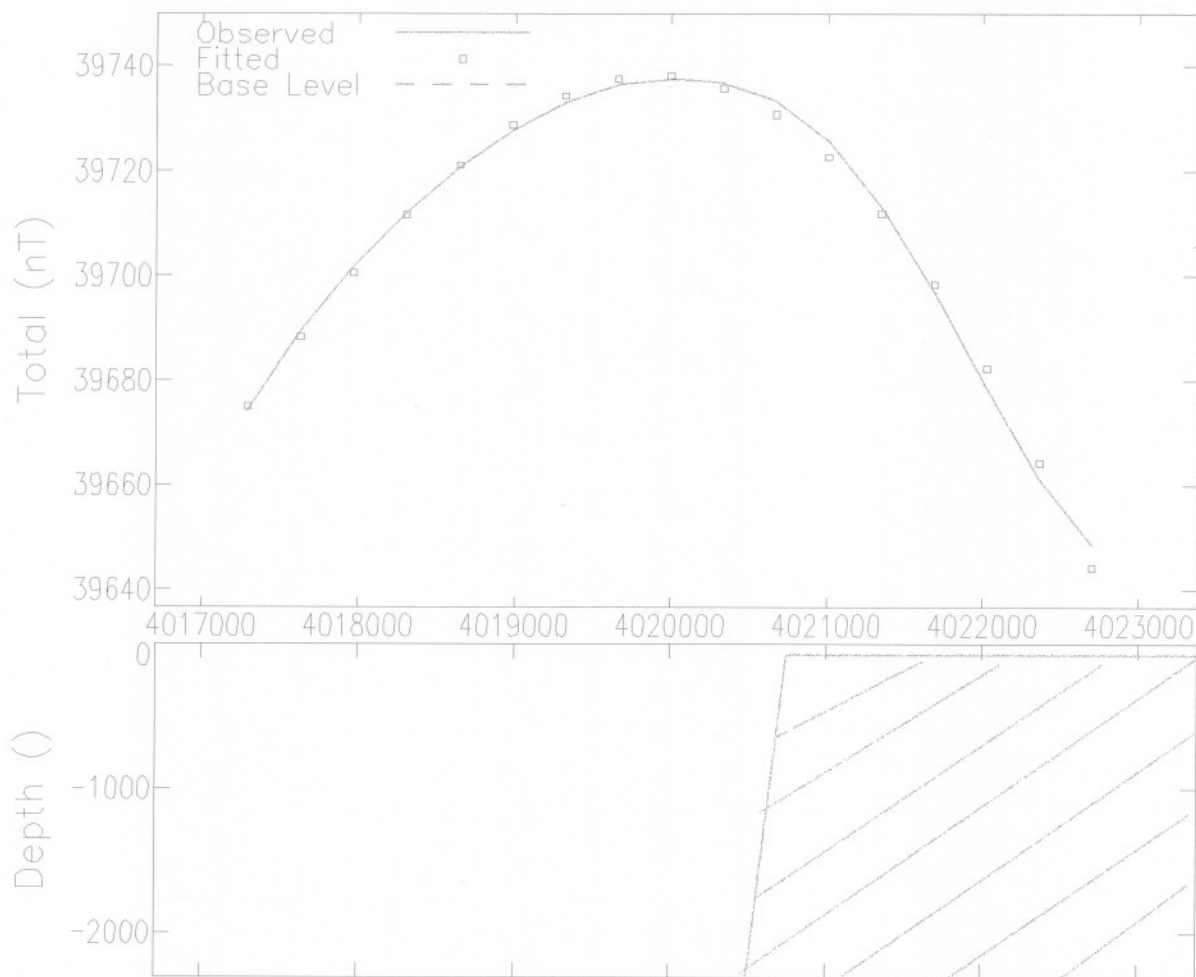
Scale - 1:500,000
1000 0.0 1000 2000 3000
(metres)

GEOLOGICAL SURVEY OF IRAN

G.I.S GROUP

M.Alavi & A.Hashemi

Profile 3



MODEL PARAMETERS:

Model Type	Tabular2
Depth	L 73.5
Half Width	F 2031
Half Length	X 2911
Offset	X 0
Dip	F 97 deg
Thickness	F 5800
Susceptibility	F 0.0437 emu
Remnance Ratio	X 0
Remnance Incl	X 0 deg
Remnance Decl	X 0 deg
Main Position	L 4022632
Cross Position	X 538309.6
Base Level	F 39440.24 nT
Base Slope	F .0063625 nT/
Base Curvature	X 0 nT/2

(F-fitted, X-fixed, L-limit)

GEOMAGNETIC FIELD:

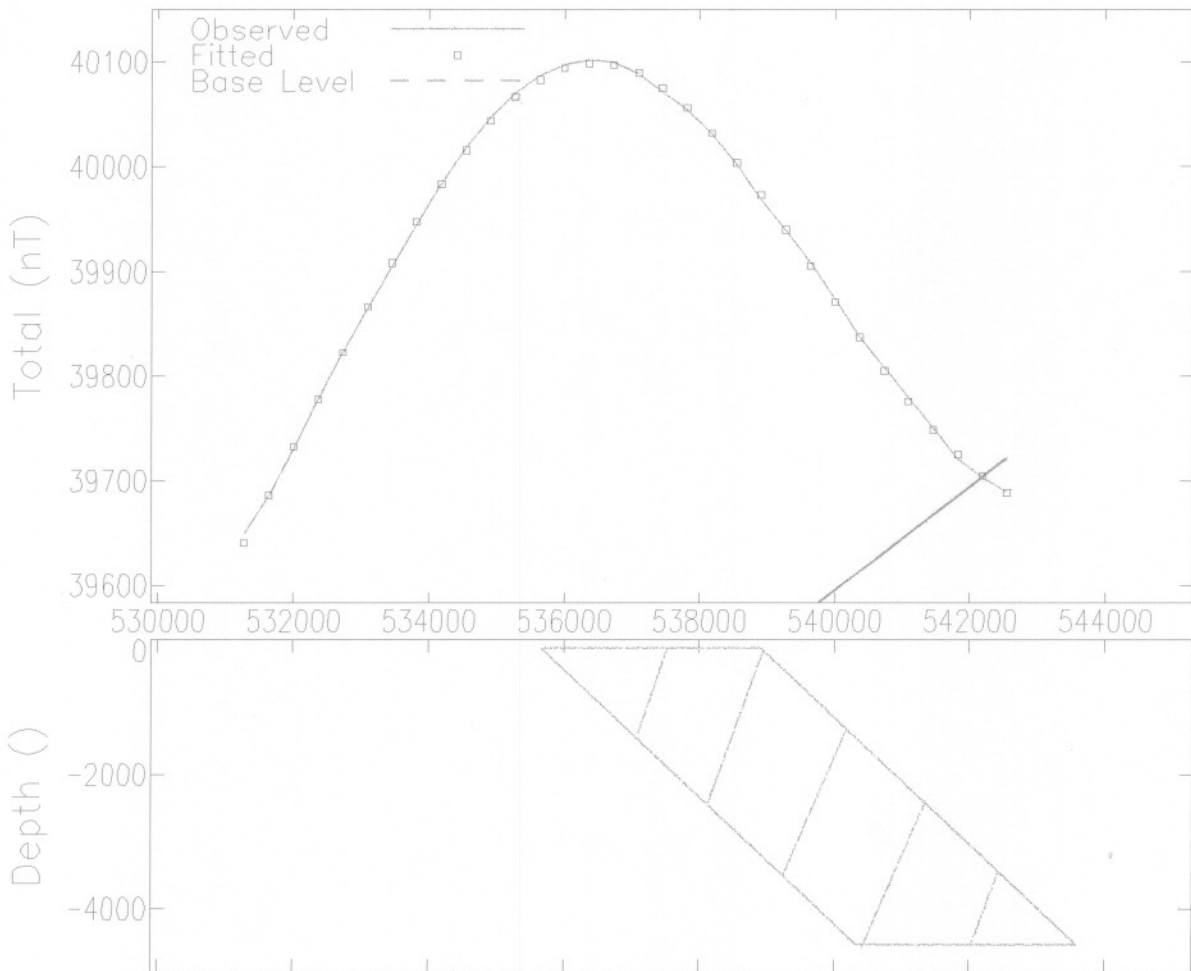
Field Strength	39737.53 nT
Inclination	54 deg
Declination	3 deg

COORDINATES:

Sensor Height	7125
Strike Perp	0 deg
Line Direction	34 deg
Main Direction	12 deg
Main Offset	
Cross Direction	102 deg
Cross Offset	

Modeling Result

Profile 1



MODEL PARAMETERS:

Model Type	Tabular2
Depth	L 131
Half Width	F 1625
Half Length	X 5640
Offset	X 0
Dip	F 43 deg
Thickness	F 4401
Susceptibility	F 0.0805 emu
Remnance Ratio	X 0
Remnance Incl	X 0 deg
Remnance Decl	X 0 deg
Main Position	F 537290.9
Cross Position	X 4030291
Base Level	F 39460.27 nT
Base Slope	F .0497378 nT/
Base Curvature	X 0 nT/2

(F-fitted, X-fixed, L-limit)

GEOMAGNETIC FIELD:

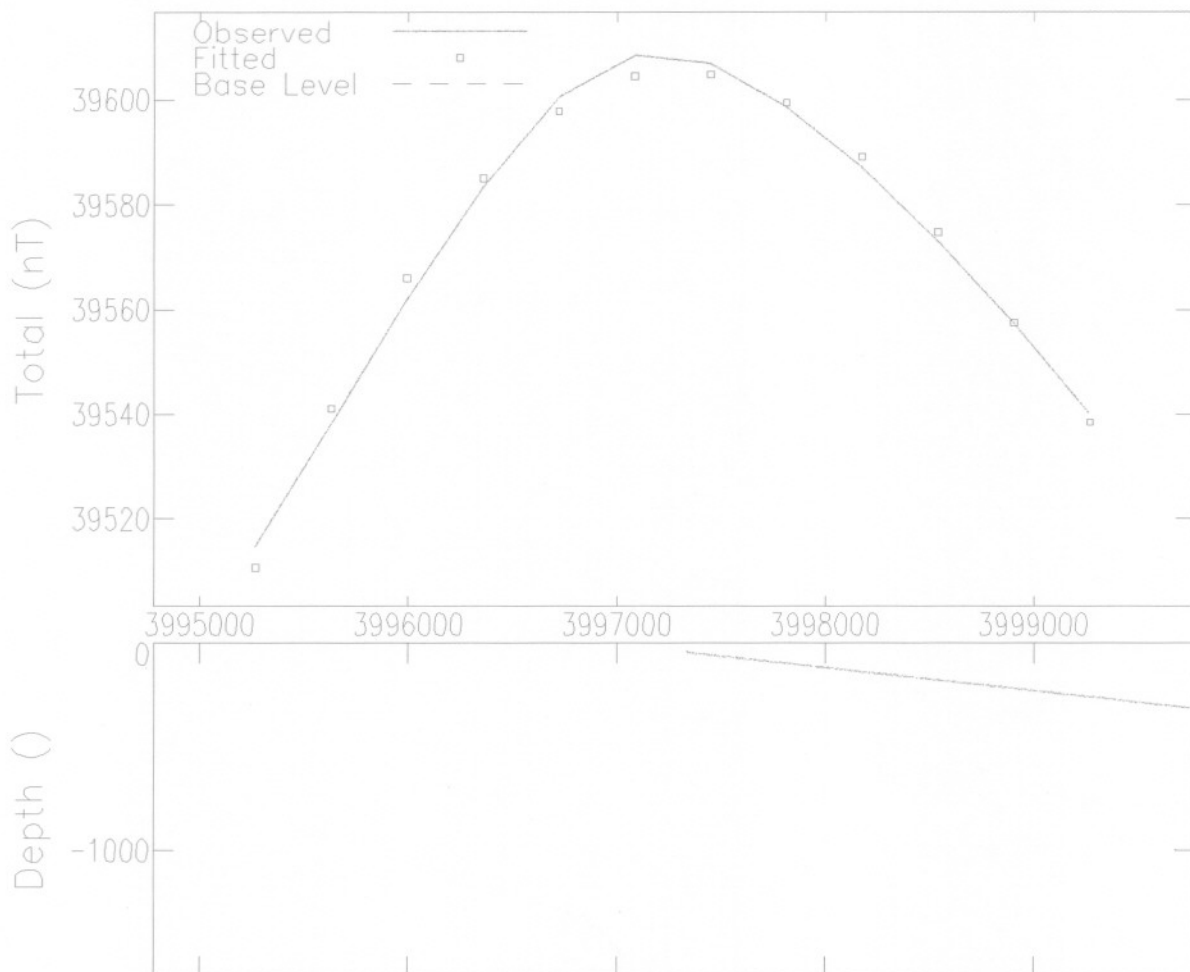
Field Strength	40099.7 nT
Inclination	54 deg
Declination	3 deg

COORDINATES:

Sensor Height	7125
Strike Perp	0 deg
Line Direction	10 deg
Main Direction	12 deg
Main Offset	
Cross Direction	102 deg
Cross Offset	

Modeling Result

Profile 5



MODEL PARAMETERS:

Model Type	Ribbon
Depth	L 45.0
Width	F 2881
Dip	L 6 deg
Suscep x Thick	F 139 emu-
Remnance Ratio	X 0
Remnance Incl	X 0 deg
Remnance Decl	X 0 deg
Main Position	F 3997337
Cross Position	X 528842.7
Base Level	F 39260.68 nT
Base Slope	F .0898118 nT/
Base Curvature	X 0 nT/2

(F-fitted, X-fixed, L-limit)

GEOMAGNETIC FIELD:

Field Strength	39606 nT
Inclination	54 deg
Declination	3 deg

COORDINATES:

Sensor Height	7125
Strike Perp	0 deg
Line Direction	13 deg
Main Direction	12 deg
Main Offset	
Cross Direction	102 deg
Cross Offset	

Modeling Result

۵- بررسی نقشه گسترش به بالا

همانطور که مشاهده می شود دامنه بی هنجاریهای اصلی با افزایش سطح بی هنجاری به ترتیب

و نقشه های شماره ۱۵ و ۱۶ و ۱۷، ۸۱، ۳۹۹۲۸/۳ گاما و ۳۹۶۶۹ گاما می باشد که با

افزایش ارتفاع سطح کاهش می یابد و مرکز آنومالی به سمت جنوب کشیده شده است.

آنومالی اصلی منطقه در سری افیولیتها شامل اسپلیلت دیاباز، سرپانتینیت، دونیت و

هارزبورزیت قرار گرفته است که در مختصات ۴۰۳۲۶۷۶ - ۴۰۲۵۹۵۰ - ۵۴۱۱۹۹ و ۵۳۲۲۳۹

واقع شده است و دو آنومالی با همان شدت ولی با دامنه کمتر در جنوب و جنوب غرب آن

مشاهده می شود. که مربوط به اسپلیلت دیاباز و دونیت هارزبورزیتهای منطقه است.

در نقشه شماره ۱۵ که داده ها به سطح ۱۰۰۰ متر برده شده است آنومالی کوچکتر جنوب

غربی از بین رفته در نقشه شماره ۱۶ (۳۰۰۰ متر) و نقشه ۱۷ (۵۰۰۰ متر) هر سه آنومالی به یک

آنومالی تبدیل شده اند این نشانگر این است که ریشه این آنومالیها در عمق از یک عامل ناشی

می شود.

همچنین آنمالی با شدت کمتر در جنوب منطقه در مختصات ۳۹۹۹۱۷/۶ - ۳۹۹۵۷۱۸ و

۵۲۳۱۴۳ - ۵۲۳۵۳۲ که مربوط به توده‌های نفوذی سطحی (گرانیت) می‌باشد و با توجه به

محیط رسوی منطقه که از مخروط افکنه‌ها و پادگانه‌های آبرفتی جوان تشکیل شده احتمالاً توده

نفوذی ذکر شده از رسوبات رودخانه کالشور می‌باشد.

مطلوب دیگر مربوط به آنمالی ضعیف باگسترش زیاد در مرکز نقشه می‌باشد که احتمالاً تحت

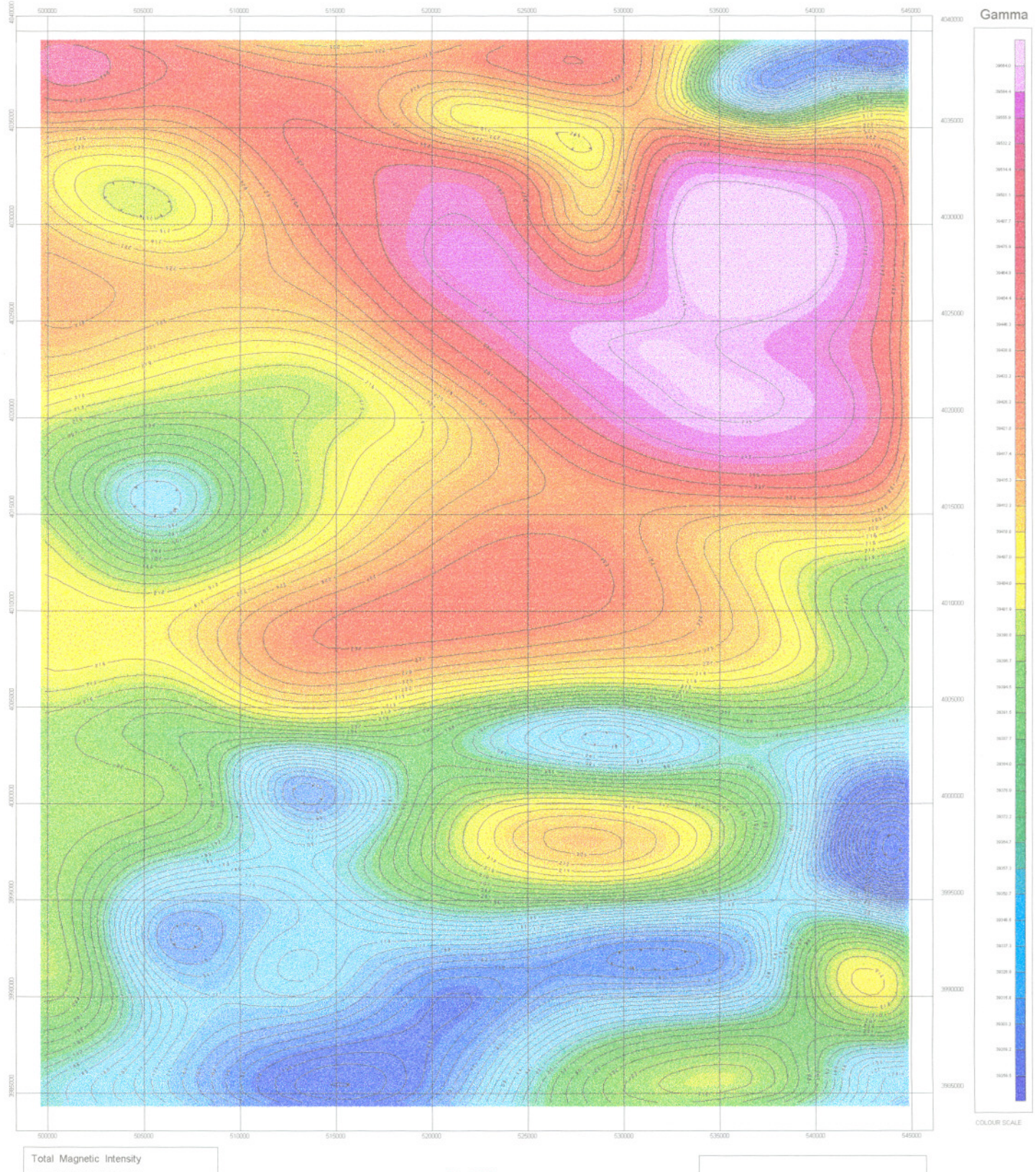
تأثیر مجموعه افیولیتی شمال منطقه می‌باشد و در عمق با روند کندتری از بین می‌رود.

گسله اصلی در امتداد جنوب شرق - شمال غرب در عمق امتداد یافته است و بخوبی قابل

مشاهده است ولی گسله فرعی موازی آن در نقشه شماره (۱۰۰۰) هنوز دیده می‌شود و در نقشه

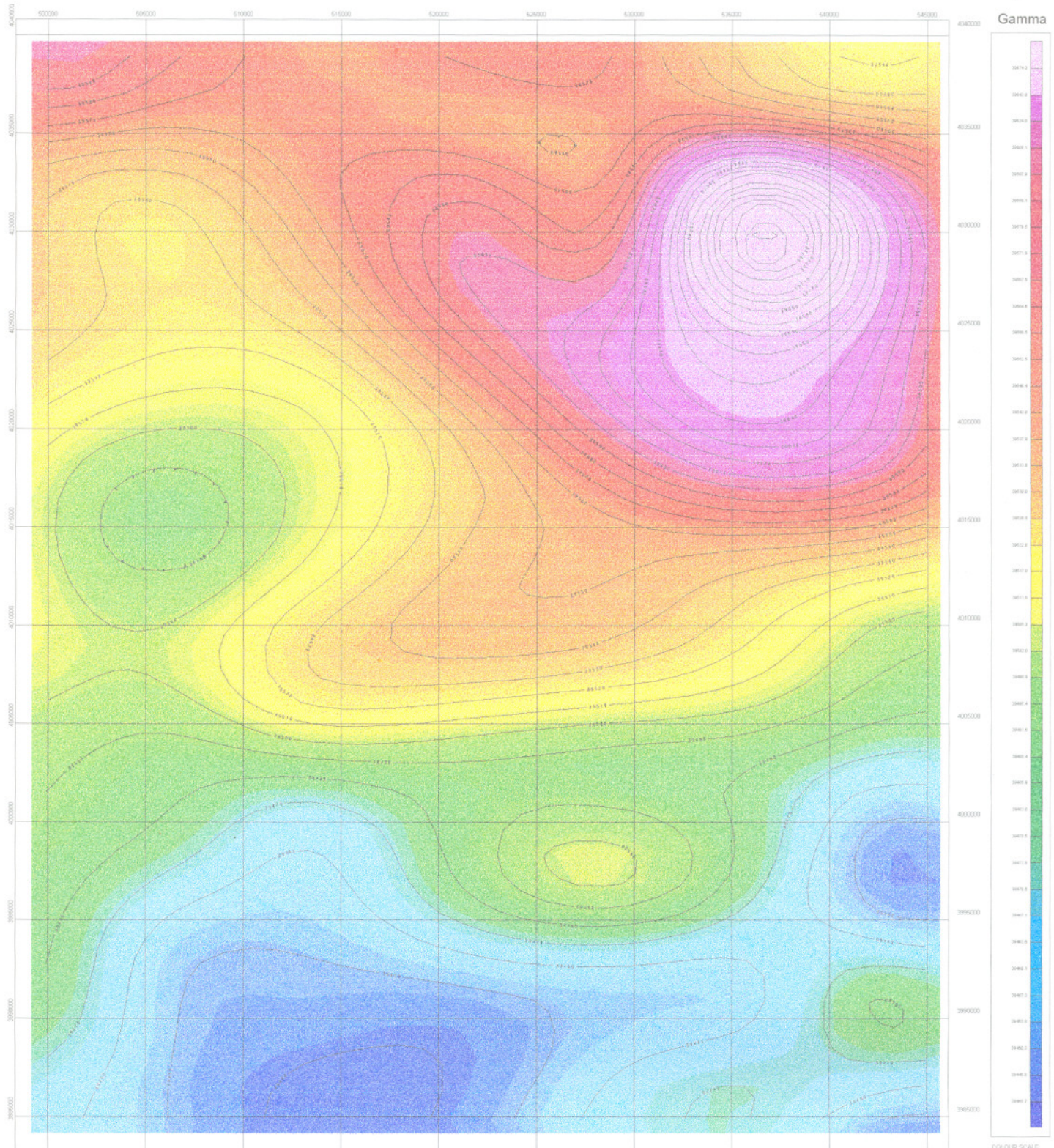
بعدی محو گشته و عمق زیادی ندارد.

AEROMAGNETIC MAP BASHTIN



FigNo: 15

AEROMAGNETIC MAP BASHTIN



Total Magnetic Intensity
(UPWARD CONTINUATION 3000m)

Flight Interval : traverse 7.5 Km
Tie Line : 40 Km

Projection : UTM 10,000 meters grid
WGS84
Zone 40

Date : 07/77

Scale 1:250000
1000 0 0 1000 2000 3000
(metres)

GEOLOGICAL SURVEY OF IRAN

G.I.S GROUP

M.Alavi

Fig No: 16

AEROMAGNETIC MAP BASHTIN

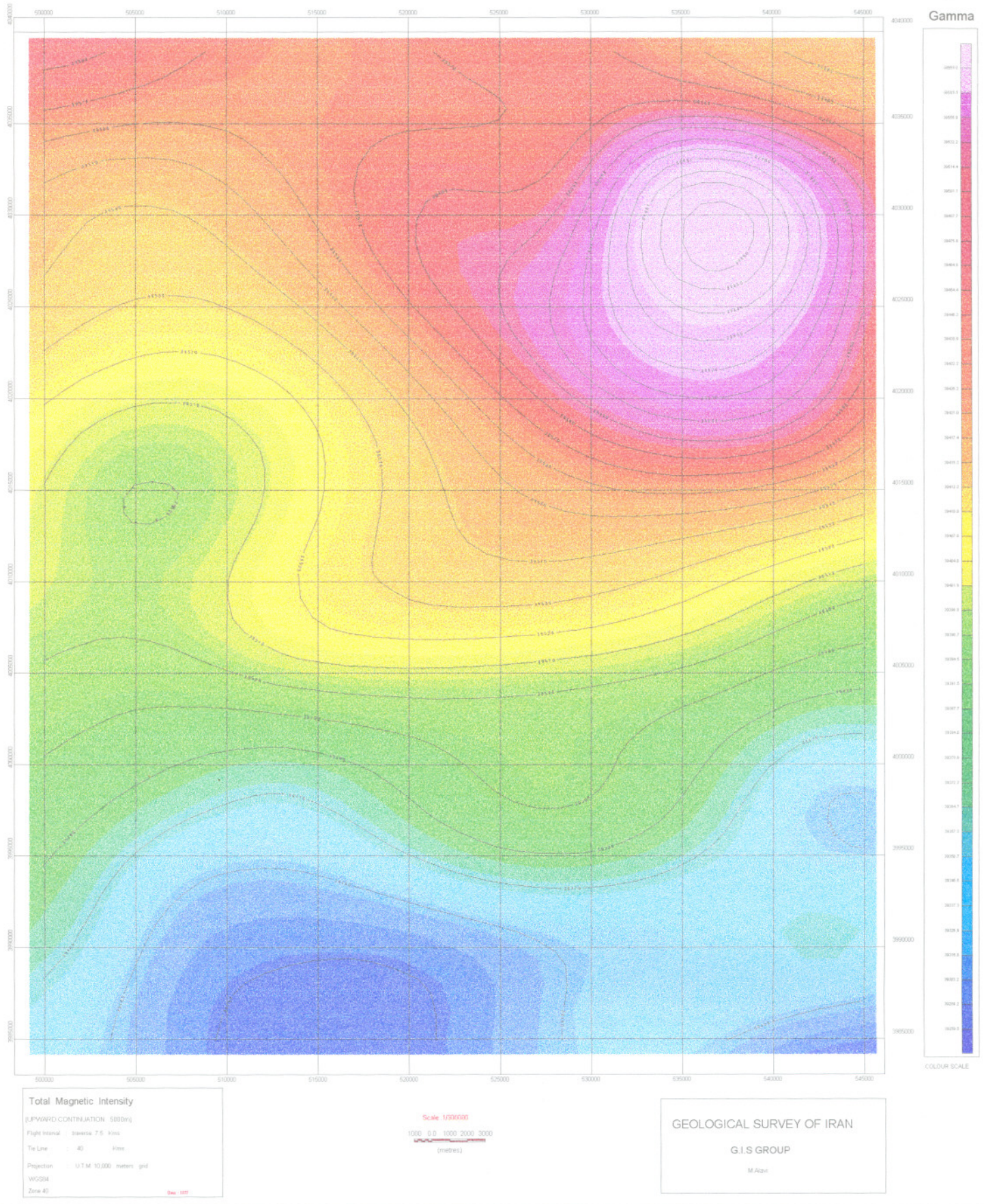


FIG NO : 17

۶- بررسی نقشه مشتق دوم قائم

در این روش با حذف اثر بی‌هنجاری‌های عمیق بی‌هنجاری‌های سطحی با تقارن بهتری مشخص می‌شوند.

آنومالی اصلی منطقه که در تفسیر گسترش بالا ذکر شد در این جا ظاهر خوبی را نشان می‌دهد که بصورت سه آنومالی با شدت زیاد در شمال شرقی مشاهده می‌شود و با اطلاعات زمینی موجود در نقشه زمین‌شناسی تطبیق مناسبی دارد.

در آنومالی سطحی ذکر شده در قسمت قبلی که در جنوب و مرکز نقشه قابل تشخیص هستند در نقشه مشتق بصورت قوی‌تری ظاهر شده‌اند و این مؤید سطحی بودن آن است.

AEROMAGNETIC MAP BASHTIN

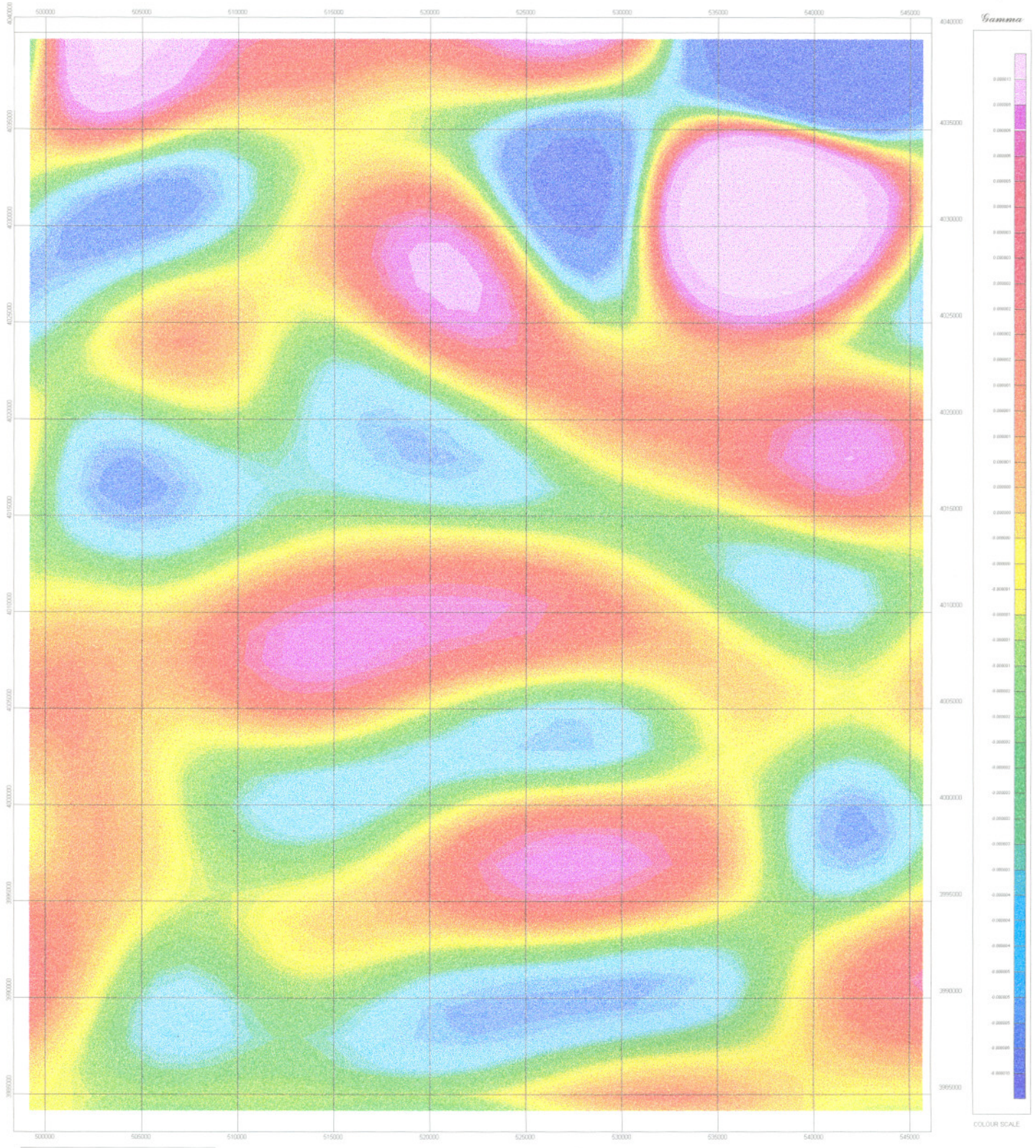
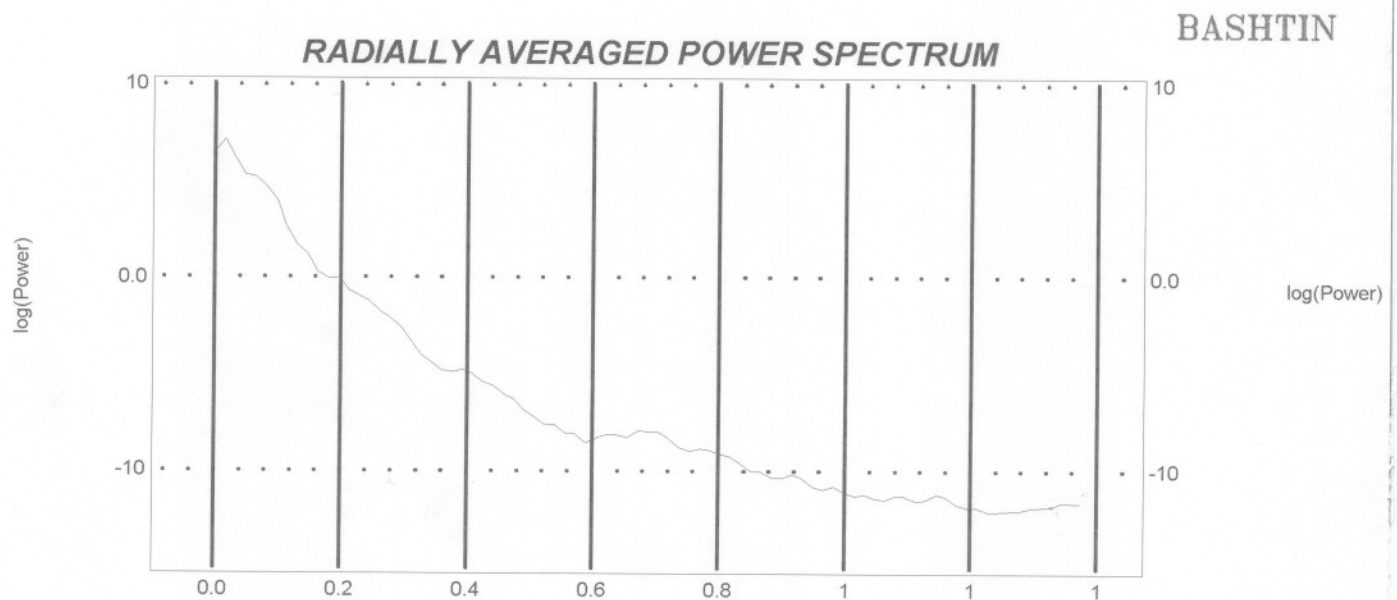


Fig No: 18

RADIALY AVERAGED POWER SPECTRUM



DEPTH ESTIMATE

